

Vysoká škola: strojní a textilní
Fakulta: strojní

Katedra: materiálu a tváření
Školní rok: 1962/63

DIPLOMNÍ ÚKOL

pro s. Pacák a Miroslava
obor Strojírenská technologie

Protože jste splnil požadavky učebního plánu, zadává Vám vedoucí katedry ve smyslu směrnic ministerstva školství a kultury o státních závěrečných zkouškách tento diplomní úkol:

Název thematu: Návrh technologie odlévání antimonových kroužků
..... s požadavkem dodržení jemné struktury a homogenity
..... odlitku.

Pokyny pro vypracování:

- 1) Stručný popis zařízení u podmínek, za kterých má antimonový kroužek pracovat. Specifikace a zdůvodnění požadované kvality,
- 2) Návrh a konstrukční propracování licného zařízení na principu odstředivého lití ze současné vibrace o na principu lisování při tuhnutí.
- 3) Odložení soudy zkušebních vzorků při různých parametrech odlévání a ověření výsledků metalograficky i kontrolou hustoty odliatku.
- 4) Zhodnotte výsledky vlastních měření, porovnejte s dosudními pokusy, navrhnete technologický postup a Vám určenou optimální technologií odlijeccu lo kusů nulté série ke zkouškám obrabitevnosti.

V 12/1962

Rozsah grafických laboratorních prací: výkresy licích zařízení - kotovací sestavy
těžiště v laboratorní práci.

Rozsah průvodní zprávy: 40 - 50 stran včetně tabulek a diagramů

Seznam odborné literatury:

- | | |
|------------|---|
| Gajdoš | - Antimon, měď, clovo. |
| Bajkov | - Centroběžnoje litjo. |
| Loževskij | - Konstrukce a výroba kovových forem. |
| Lozenko | - Kokilové a odstředivé odlévání. |
| Petričenko | - Praktika litja v metallicheskije formy. |
| Levin | - Centroběžnaja otlivka metallov. |
| Nosova | - Spravočnik litějščika. |
| | - Technologie strojírenské výroby - díl II. slévárenství. |

Vedoucí diplomní práce: Prof. Ing. Bohumil Odstrčil

Konsultanti: Ing. Jaroslav Exner

Datum zahájení diplomní práce: 24. září 1962.

Datum odevzdání diplomní práce: 3. listopadu 1962.



metr
Vedoucí katedry

Prof. Ing. Bohumil Odstrčil

Mayer
Děkan

Doc. Ing. Jiří Mayer

Ú v o d .

Měření a měřící přístroje jsou důležitou součástí všech odvětví výroby. Zvláště dnes jsou měřící přístroje nepostradatelné při zavádění automatizace. Rozvoj strojírenské výroby si vyžaduje nových a stále přesnějších přístrojů, které by zaručovaly správný chod strojů. Závody, které vyrábějí měřící přístroje a aparatury, využívají dnes všech vědeckých a technických poznatků. Důkazem toho jest mnoho složitých zařízení, které pracují někdy až s neuvěřitelnou přesností.

Jedním z takových závodů je i ZPA, Nová Paka, kde vyprecovali návrh nového přístroje na měření pH roztoku. Nejdůležitější funkční částí je antimonový kroužek, na jehož čistotě a jemnozrnnosti závisí přesnost měření. Výrobou tohoto kroužku, pomocí odstředivého lití za současné vibrace, se zabývá tato diplomová práce.

A. Stručný popis měření pH roztoků a měřicích
přístrojů.

A.1. Měření pH roztoků.

Měření pH roztoků je měření zásaditosti a kyselosti roztoků. Vodní roztoky se štěpí na dva druhy iontů - kationty (vedík H^+ nebo kovy) a anionty (zbytek kyseliny nebo zbytek zásady OH^-). Množství kationtů H^+ a aniontů OH^- určuje kyselost nebo zásaditost roztoku. Jednotkou pro měření kyselosti nebo zásaditosti roztoků je jedna pH. Stupnice kyselosti nebo zásaditosti obsahuje 14° stupňů pH. Kyselost klesá od 0 pH až do 7 pH, zatím co zásaditost stoupá od 7 pH až do 14 pH. 7 pH znamená tedy ideální neutrální roztok. V tomto roztoku jsou kationty H^+ a anionty OH^- v dokonalé rovnováze.

Vložíme-li do roztoku speciální elektrody pro měření pH, nastane obdobný jev jako v galvanickém článku a na elektrodách vznikne elektrické napětí, úměrné koncentraci H^+ nebo OH^- iontů. Z velikosti tohoto napětí lze pak soudit na hodnotu pH. To je princip měření pH roztoků.

Pro zvýšení přesnosti se u měření využívá potenciálu pouze jedné elektrody (skleněné nebo antimonové), která se nazývá měřící. Druhá elektroda - srovnávací (kalomelová), která má potenciál nezávislý na pH měře-

ného rozteku, obstarává pouze vodičové spojení s měřeným roztokem a tím uzevírá obvod.

A.2. Měřící přístroje - pH metry.

S dosavadními přístroji bylo možno měřit pouze v roztocích čirých a takových, které neobsahovaly hrubší nečistoty. Tyto přístroje mají totiž použit u jako měřící elektrodu skleněnou (viz obr.1). Ta je z velmi tenkého skla (skleněná membrána), takže má pouze omezenou trvanlivost a vyžaduje velmi šetrného zacházení.

Tyto nedostatky odstraňuje tak zv. vysílač pH se stíranou antimonovou elektrodou (viz příloha 1). Nejdůležitější jeho částí je antimonová elektroda, která je vytvořena ve formě kroužku.

A.2.1. Stručný popis přístroje

Vysílač pH se stíranou antimonovou elektrodou sestává z nosného rámu, desky pro upevnění elektrod, ochranné linky pro upevnění elektrod, ochranné jímky pro teploměr, jednofázového elektromotorku, propojovací krabičce s kondensátorem, svorkovnice krytu, kalomelové a antimonové elektrody, odporové vložky (viz přílohy a, I⁹). Antimonová elektroda je upevněna v kotevci z tvrdé pryže a celek je vsazen do nosné nerezavé trubky. Boční stěny antimonového kroužku jsou chráněny chemicky odolným nátěrem před stykem s měřeným prostředím. Celní volná plocha

kroužku je přímo ve styku s měřeným prostředím a pro zlepšení přesnosti a spolehlivosti je otírána stěračem. Na stíranou plochu je stěrač přitlačován popryžovanou pružinou. Odporová vložka má ten účel, že kompensuje vliv teploty měřeného roztoku na potenciál antimonové elektrody.

příloha 3

Kalomelová elektroda (viz obr. 2) je provedena jako válec ze skleněné trubky, který je vložen do ocelové nerezavé ochranné trubky. Vlastní kalomelovou elektrodu tvoří skleněný stonek, v jehož spodní části je vrstva kalomelové pasty ($HgCl$). Nad touto vrstvou je vrstva rtuti, do které zasahuje platinový drátek spojený s výstupním kabelem. Stonek je uzavřen porézní zátkou a umístěn ve skleněném pláště. Ve dně tohoto pláště je zataven váleček z porolitu. Uvnitř pláště je nasycený roztok KCl (chlorid draselný), který porolitovým válečkem zvolna prolíná do měřeného roztoku. Mezi vlastní kalomelovou elektrodou a roztokem KCl vzniká potenciální rozdíl, závislý pouze na koncentraci vnitřního elektrolytu (KCl) a na teplotě, avšak nezávislý na hodnotě pH měřeného roztoku.

A.2.2. Použití přístroje:

Vysílač pH se stíranou antimonovou elektrodovou má daleko širší použití než přístroj se skleněnou elektrodou. Je určen pro měření hodnoty pH průmyslových roztoků, je vhodný pro roztoky znečištěné, obsa-

VŠST LIBEREC

Odstředivé odlévání Sb kroužku.

DP - ST 76/62 5
3. LISTOPADU 1962
Miroslav Pacák.

vující pevné látky nebo pro některé roztoky, které se srázejí na povrchu elektrody.

Lze jej použít pro měření roztoků v cukrovech, úpravnách vody, roztocích škrubů, fosfátů, špavků, kamence, piva atd. Roztoky ovšem nezmí obsahovat látky, narušující funkci antimonové elektrody v silně oxydačních nebo redukčních roztocích, jako jsou např.: citráty, peroxyd vodíku, oxaláty, taráty, železité soli, invertní cukr, kyselinu fenyltaráty, chromanu sodného, manganistanu draselnésirovodu, chromanu sodného, manganistanu draselného, mědi, arsenu, rtuti, stříbra a vůbec žonty těžkých kovů, mající nižší potenciál jak antimon. Rušivě působí a případně měření i znemožňuje nedostatek kyslíku v roztoku.

Vysílač pH se stíranou antimonovou elektrodou je použitelný v rozsahu 1-12,5 pH o teplotě měřeného prostředí 0-100°C a maximálním přetlaku 6 katp.

Shlediska použití jsou vypracovány dva druhy vysílačů s antimonovou elektrodou:

a) ponorný vysílač, který se používá při měření klidné kapaliny v nádržích (viz obr.3, příl.4)

b) průtočný vysílač, který se používá při měření proudící kapaliny v potrubí a pod. (viz obr.4, příloha 4).

Princip obou přístrojů je zcela stejný a liší se pouze v konstrukci pro upevnění do nádrže nebo na potrubí.

A.3. Specifikace a zdůvodnění požadované

kvality antimonového kroužku.

Na antimonový kroužek, jako na nejdůležitější část měřícího přístroje, jsou kládeny určité požadavky. Především je to vnitřní struktura odlitého antimonového kroužku, s kterou souvisí jakost obrobeného povrchu. Struktura má být velmi homogenní bez větších stažení. Pouze 3% z celého objemu může připadat na stažení, jejichž velikost ovšem nesmí přesáhnout $0,1 \text{ cm}^3$. Staženiny způsobují na obrobeném povrchu prohlubeninky, které se zanášejí nečistotami, tím se snižuje účinná plocha kroužku snímající potenciál a snižuje se přesnost měření.

Stejně důležitá je jemnost krystalice, jejíž dosažení je vzhledem ke krystalisaci čistého antimonu dost obtížná. Antimon má totiž velkou krystalisační rychlosť a malou krystalisační schopnost, t.j. malou schopnost k tvoření krystalisačních zárodků. Jeho krystaly jsou při statickém lití velmi velké (viz obr. 5 příloha 2), takže jeho použití v daném stavu jest vyloučeno. Jest zde však určitá možnost - rušená krystalisace, která by přinesla žádaných výsledků. Na jemnosti krystalisace závisí však jakost obrobené plochy. Protože antimon je velmi křehký, vylamují se obráběním zrna při hrubé krystalisaci a obrobená plocha obsahuje staženiny. Následky jsou stejné jako

VŠST LIBEREC	Odstředivé odlévání Sb kroužku.	DP - ST 76/62 7
		3. LISTOPADU 1962
	Miroslav Pacák.	

při výskytu staženin - zanášení povrchu nečistotami a zkreslené měření. Zjemnění struktury očkováním není možné, protože je požadována též veliká čistota antimonu (99,95).

Předpokládá se, že dodržení všech těchto požadavků zaručuje přesné a spolehlivé měření. Ovšem žádny z uvedených požadavků není provozně ověřen, protože je ve výrobě nula ověřovací serie. Nejsou ani žádné zahraniční výsledky, které by byly podkladem pro určení přesných požadavků na antimonové kroužky. Bude tedy dalším úkolem provozních zkoušek, určit přesné požadavky, které by zaručily přesné měření přístroje.

B. Teorie odstředivého a vibračního lití.

B.1. Odstředivé lití.

B.1.1. Vliv odstředivého lití na strukturu odlitku.

Je povědechně známo a všechny dostupné prameny to dokazují, že odstředivé lití má velký vliv na homogenitu odlitků. Je to druh lití, který je velmi ekonomický s hlediska spotřeby kovu, a který zároveň umožňuje získání přesného odlitku, takže mnohdy odpadá i obrábění. Ačak nejen homogenita, ale i krystaliace je ovlivněna odstředivým litím. Velikost zrna závisí na rychlosti otáčení kokily - čím vyšší otáčky, tím větší velikost zrna, čili tím hrubší krystalisace. Příliš vysoké otáčky však mají vliv i na výskyt podélných trhlin, jejichž příčinu lze hledati v tom, že litý kus se následkem smršťování odsazuje od formy a příliš velká odstředivá síla může způsobit trhliny při delším tuhnutí. Růst krystalů závisí i na přechlazení, které ovlivňuje množství vzniklých zárodků krystalisace a rychlosť krystalisace. Rychlosť krystalisace a počet krystalisačních zárodků se přechlazením zvětšuje. Litím do chladné kokily se kov přechladí a vytvářejí se podmínky pro vznik jemné krystalické struktury. Kromě toho snížení teploty tekutého kovu má za následek snížování schopnosti rozpouštět

plyny /2/.

B.1.2. Konvekční proudy.

Při odstředivém lití vznikají tak zv. konvekční proudy, které vyvolávají směrovou krystalisaci a způsobují napuštění mezidendritických pórů. Velikost konvekčních proudů je určena velikostí zrychlení wr^2 a čím jsou silnější, tím hutnější je odlitek. V tom je právě přednost proti stacionárnímu lití, že se zde zabezpečuje získání hutného odlitku. /5/

Abychom získali při odstředivém lití bezvadné odlitky, musí být vymezeno "řízené tuhnutí" kovu ve formě. Mají-li odlitky při pravém odstředivém odlévání, t.j. při výrobě dutých těles, jejichž osa je totožná s osou otáčení odstředivky, velkou délku v poměru k průměru, postupuje zpravidla tuhnutí z venku do vnitřku odlitku. Je-li však litý kus v poměru k radiální síle stěny velmi malý, pak se může směr tuhnutí obrátit. Potom mají odstředivě lité kusy rovněž jako staticky lité sklon k tvoření stažení /14/.

Na strukturu odlitků, které jsou odstředovány v kovových formách, má vliv i řada jiných činitelů, jako jsou teplota kokily, teplota taveniny, rychlosť lití, čistota kovu. Všechny tyto faktory je nutno při odstředivém lití uvažovat, chceme-li mít dobré výsledky.

B.1.3. Shrnutí.

Odstředivé lití zvyšuje hutnost odlitků a do značné míry ovlivňuje strukturu odlitků. Čím vyšší jsou otáčky, tím vzniká hrubší zrno a naopak. Dostatečná hutnost odlitku je zaručena vždy.

B.2. Zjemnění struktury tuhnoucích materiálů

vibrací /8/.

Mnoho různých tekutých materiálů, t.j. čisté kovy i slitiny, které tuhnou jako tuhé roztoky a eutektika, bylo podrobeno vibraci a byly kontrolovány podmínky při tuhnutí. Metalografické zkoušky tuhých ingotů těchto materiálů ukázaly, že všechny zjemnily zrno, ačkoliv velikost zjemnění byla ve značném rozsahu. Zjemnění zrna bylo větší u těch materiálů, které měly větší sražení při tuhnutí. Údaje v technické literatuře všeobecně tuto skutečnost potvrzují.

B.2.1. Úvod.

Dřívější výzkumy zjistily, že vibrace používaná během tuhnutí roztažených kovů má za výsledek odplynění a jemnější zrno odlitého materiálu. Velikost zjemnění zrna byla uváděna s ohledem na různé kovy, různé frekvence a amplitudy vibrace.

Vlastnosti eutektik tuhnoucích pod vlivem vibrace jsou značně rozdílné. Bylo zjištěno, že eutektické složky s menším množstvím eutektické fáze hrubly při použití vibrace.

Jsou dvě teorie, které se snaží vysvětlit vliv vibrace na tuhnoucí kovy. První teorie říká, že zjemnění zrna vibrací je způsobeno ulamováním primérních krystalů nebo dendritů, a tím vytváří umělý zdroj stabilních jader. Toto lámání se přisuzuje střídavým tlakovým vlnám nebo viskozním silám, které působí na dendrity nebo krystaly. Druhá teorie vysvětluje působení vibrace zvýšenou rychlostí tvorjení zárodků, které se vytváří šířením střídajících se tlakových a podtlakových vln v tavenině. Tato druhá teorie předpokládá, že zavedení vibrace do taveniny způsobí vznik střídajících se vln vysokého a nízkého tlaku. Existence těchto pohyblivých nebo stacionárních vln (ty závisí na velikosti kelímků nebo kokily, na metodě aplikování vibrace do taveniny, na frekvenci atd.) je v literatuře převážně přijímána se souhlasem. Tato teorie je schopna vysvětlit obou případů zjemnění zrn primérních krystalů a dendritů i hrubnutí eutektických struktur, což bylo prakticky pozorováno jako výsledek tuhnutí za vibrace.

Naproti tomu teorie lámání primárních krystalů je neschopna vysvětlit hrubnutí eutektické struktury. Je nutno však konstatovat, že vliv vibrace na tuhnutí kovů může být ovlivněn řadou faktorů. Mezi tyto faktory patří : teplota formy nebo kokily, rychlosť chladnutí ve formě a přítomnost částic zjemňujících zrno nebo zárodků v tavenině. Vliv frekvence a metoda aplikace

VŠST LIBEREC

Odstředivé odlévání Sb kroužku

DP - ST 76/62 12

3. LISTOPADU 1962

Miroslav Pacák.

vibreční energie do taveniny nebo zjemnění zrna byly předmětem značných sporů.

B.2.2. Působení vibrační energie.

Jestliže se získá dostatečné rozšíření vibrace do taveniny, tak frekvence a způsob aplikace vibrace do taveniny se zvláště neprojeví. Ukázalo se, že velikost zjemnění dendritů a krystalů a hrubnutí eutektik při vibraci se zvětšuje větší energií na přemísťování v celém objemu až do určité meze, nad kterou se již tento vliv v podstatě neprojevuje. Aby se mohl projevit v plném rozsahu vliv vibrace je třeba, aby vibrační energie měla dostatečnou možnost působit na tuhnoucí taveninu. Proto jestliže je rychlosť tuhnutí příliš velká, tím, že je kokila studená nebo jde nedostatečné přehřátí kovu, projeví se malý vliv vibrace. Teorie měla za úkol vysvětlit vliv vibrace na velikost zrna složek tuhnoucích v tavenině. Ve stručnosti tato teorie stanovila, že střídavé tlakové a podtlakové vlny, vyvolávané v tuhnoucí tavenině, omezují velikost krystického zárodku potřebného pro tuhnutí, tím omezují podchlazení a zvyšují rychlosť nukleace. (t.j. tvoření nových zárodků).

Tlaková vlna se uplatnila při tvoření tuhé fáze, když tuhá fáze byla hustší (specificky těžší) než tavenina a podtlaková vlna by mohla podpořit tuhou fázi tehdy, pokud by byla tato specificky lehčí než

tavenina - tak zv. LeChatelier-Braunův princip.

První případ je častější. Tyto výzkumy se prováděly dále, aby byly získány podklady, které podpoří nebo zavrhnou tyto teorie. V uvedené teorii je správné, že velikost zjemnění zrnu vyvolaného vibrací může být ovlivněna rozdílem mezi specifickou vahou taveniny a tuhého kovu bezprostředně po ztuhnutí. Z těchto důvodů kovy a slitiny, které vykazují značnou velikost snížení, byly vybrány pro pokusy.

E.2.3. Provádění pokusů.

Všechny kovy, se kterými se pokusy prováděly, byly obchodní jakosti. Všechny tuhé roztoky a eutektika byly připraveny z kovů obchodní jakosti. Hliník a šedá litina byly taveny v kysele vyzděné vysokofrekvenční indukční peci (10 kc, 10 kW). Ostatní kovy byly taveny každý zvláště v grafito-hlinitých kelímčích v plynových pecích. Pouze hořčík byl taven pod struskou. Odplynování nebylo zajištěno. Aby se vydřil co nejlépe vliv vibrace na krystalizaci, nepřidávala se žádná očkovadla. Všechny kovy byly přehřány o $200-300^{\circ}\text{F}$ (t.j. $93-148^{\circ}\text{C}$) těsně před litím, aby byla zajištěna pomalá rychlosť chladnutí. Teplota roztaveného kovu byla měřena ponorným thermočlánkem.

Cisté kovy byly přelévány do menšího kuželovitého kelímku, který tvoril zároveň formu (kokilu).

Tyto kelímky byly předehřívány asi na 700°F (t.j. 370°C)

pomoci plynového hořáku před litím pro všechny kovy, vyjma nízkotajících kovů, cínu a vizmutu. Přede hřátí bylo nutné proto, aby se zabránilo rychlému tuhnutí kovu.

Používalo se dvojího druhu vibrace. Všechny kovy byly podrobeny vibračním při 60 c/sek, při čemž kelímky byly připevněny ke kovovému vibračnímu stolu, který byl spojen s motorem. Hliník a zinek byly podrobeny též druhému způsobu vibrace. Do kelímku s taveninou se ponořila vibrující tyčinka, kterou tvořil titanový váleček o \varnothing 22,2 mm, ponořený před použitím do reztaveného hliníku. Pro zinek se používal váleček stejných rozměrů, ale ocelový. Vibrace činily 20 kc, které dodával magnetostriktční generátor. Pro srovnání byl z každého kovu odlit ingot staticky bez vibrací.

B.2.4. Výsledky pokusů.

Zjemnění zrna získané vibrací každého ze základních kovů, tuhých roztoků a eutektik je vidět na obr. 6 v tabulce. Tabulka ukazuje způsob tuhnutí kovu nebo slitiny, velikost smrštění získané s tímto materiálem a poměr množství zrn obsažených v dané ploše vibrujícího ingotu a množství zrn obsažených ve stejné ploše nevibrujícího ingotu. Stejně tak je sestaven graf, z kterého lze vyčíst velikost smrštění při tuhnutí a poměr zrn vibrujícího a nevibrujícího ingotu (obr. čís. 7).

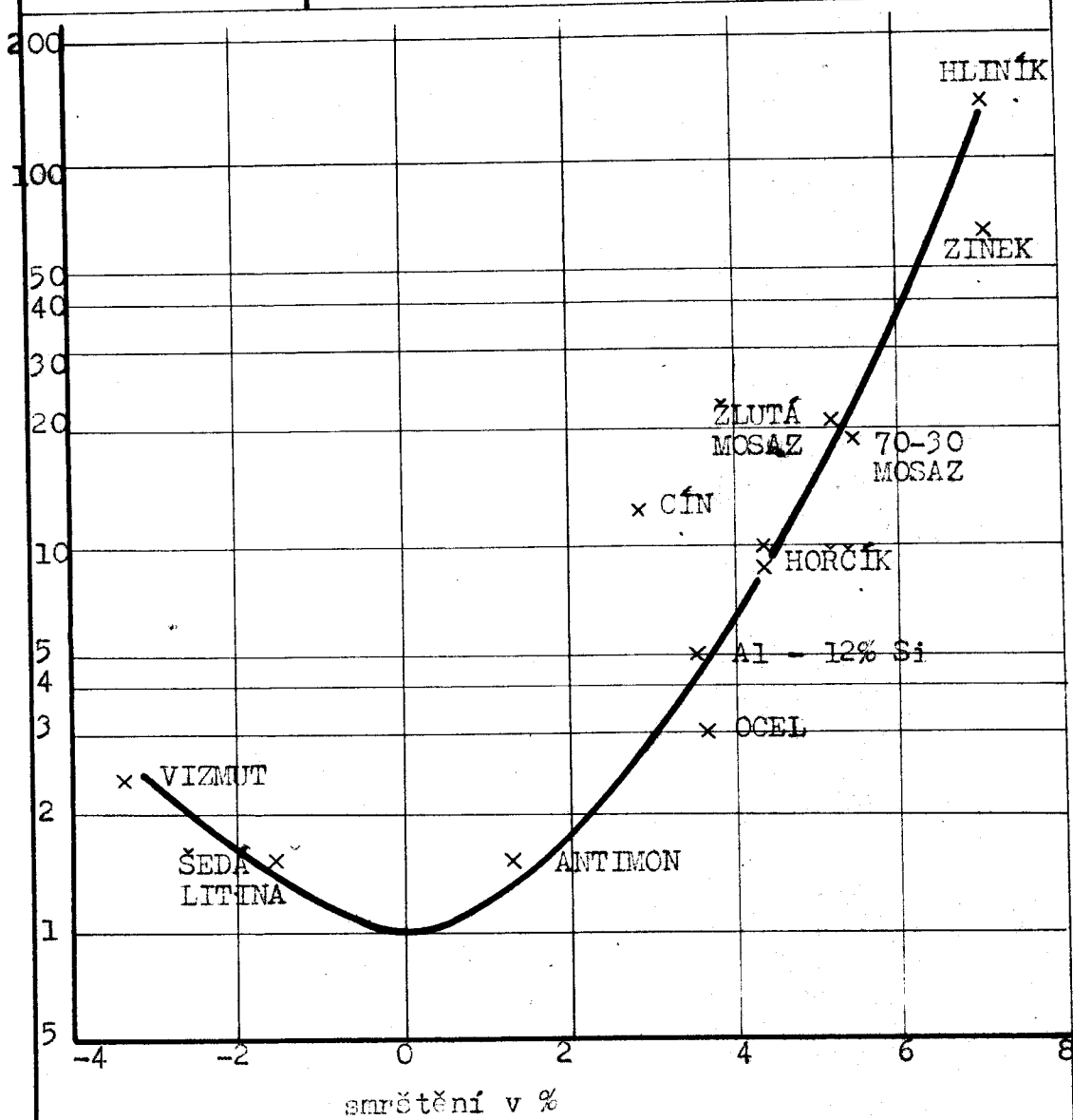
Kov nebo slitina	Způsob tuhnutí	Smrštění %	A/B
Zinek	čistý kov	6,5	60
Hliník	čistý kov	6,5	110
Hořčík	čistý kov	4,2	8
Cín	čistý kov	2,7	12
Antimon	čistý kov	1,4	1,8
Vizmut	čistý kov	- 3,3	2,3
Al - 12% Si	eutektikum	3,8	3
Šedá lit.	eutektikum	- 1,5	1,5
Mosaz	tuhý roztok	5,5	17

Obr.6. Zjemnění zrna při kolisajícím smrštění získané při pokusech. /8/

Vysvětlivka: A/B - poměr množství zrn obsažených v jednotce plochy vibrujícího ingotu ku množství zrn obsažených v jednotce plochy nevibrujícího ingotu.

Podle teorie vyložené na začátku, vibrace zavedená do taveniny by zvětšila rychlosť nukleace tuhé fáze v této tavenině, protože jsou vytvářeny střídavé tlakové a podtlakové vlny v tavenině. Tlakové vlny by podporovaly existenci specificky nejtěžší struktury, obvykle tuhého stavu. Podtlakové vlny zase specificky lehčí strukturu, obvykle taveninu, ale v některých případech i tuhý stav.

Je tedy nutné brát v úvahu, že některé stabilní zárodky, existující za tlakové vlny, by měly růst dostatečně rychle, takže kritická velikost zárodku by byla překročena pro následující tlakovou vlnu opačného smyslu, dříve než tato vlna dosáhla místa existence zárodku. Jak předpovídá předchozí teorie,



Obr.7. Vliv rozdílu v hustotě taveniny a tuhé fáze

při teplotě tavení na zjemnění zrna za vibrace./8/

Velikost zjemnění závisí na rozdílu mezi hustotou (specifickou vahou) taveniny a tuhého kovu při teplotě tuhnutí. S tím souvisí také závislost velikosti zjemnění na velikosti smrštování kovu. Čím větší jsou rozdíly v hustotě (specifické váze) mezi taveninou a vznikající tuhou fází, tím větší je vliv tlakových vln na zjemnění zrna. Proto pouze nepatrné zjemnění bylo dosaženo

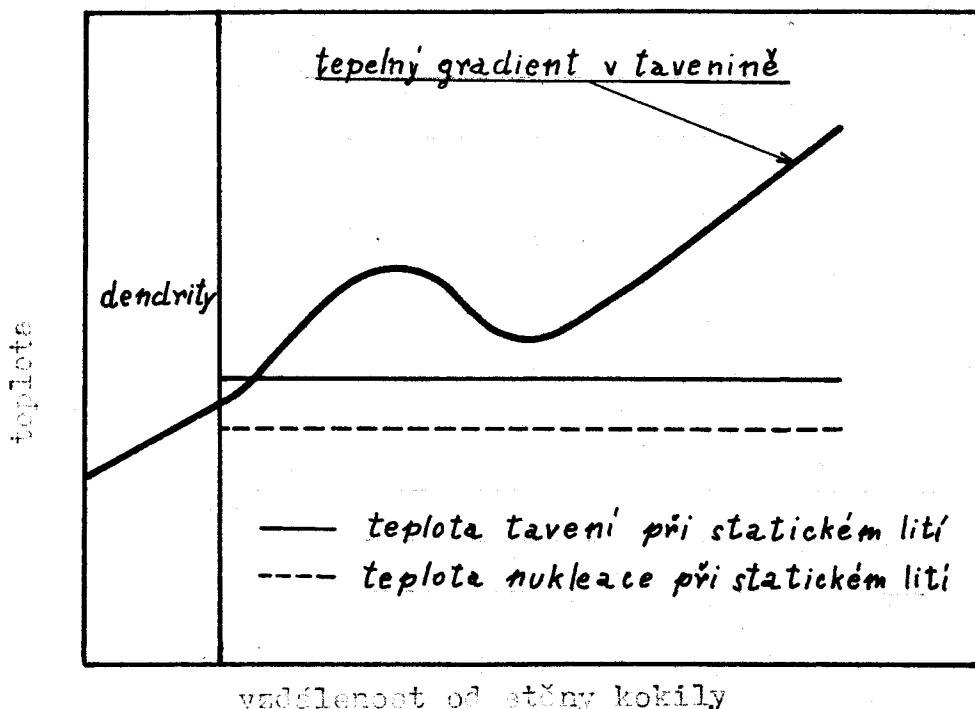
u s p t i m o n u .

B.2.5. Mechanismus zjemnění zrna u čistých kovů.

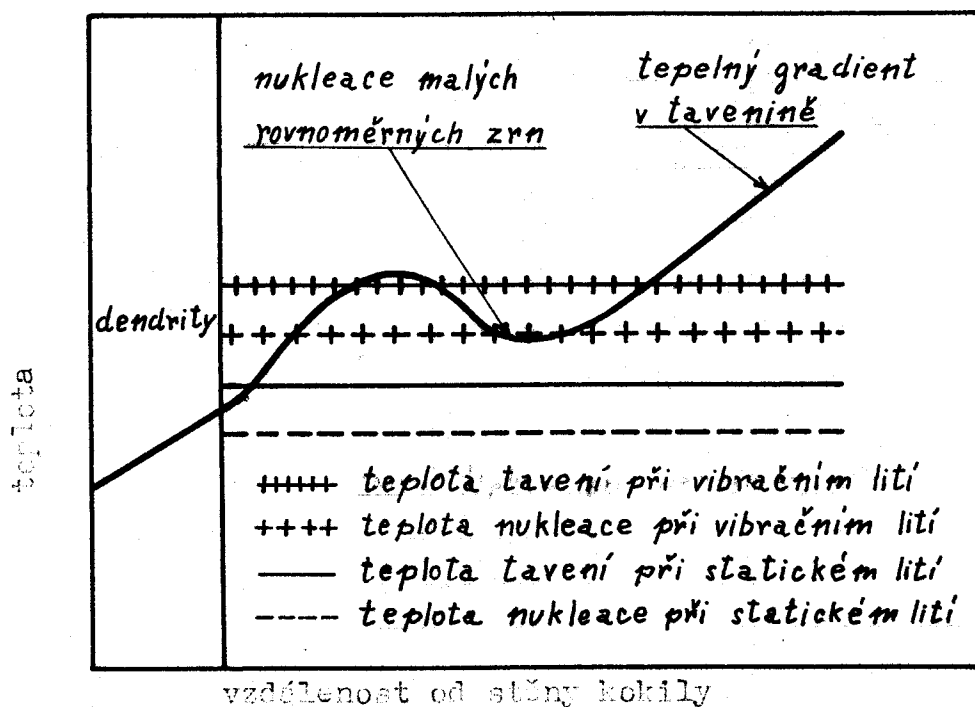
Protože používané kovy byly obchodní jakosti, předpokládá se, že tyto kovy tuhnou heterogenně.

Stejně je tu však ta okolnost, že malé podchlazení je nezbytné pro vytvoření stabilních zárodků, takže tuhnutí může pokračovat. Mechanismus zjemnění zrna může být možná vysvětleno podobným způsobem tuhnutí tuhých roztoků, obsahujících nečistoty. Jestliže se domníváme, že kovy jsou dostatečně čistoty, abychom se vyhnuli značným koncentracím látek (nečistot) rozpuštěných v tekutém kovu blízko tuhnoucí stěny, pak musí být nalezen jiný mechanismus. Obrázek 8 ukazuje tepelné stavy během statického tuhnutí oblastí sloupkových krystalů v ingotu čistých kovů.

Sloupkové krystaly se tvořily u všech čistých kovů litých bez vibrace. Toto zrno se vytvářela vždy, přesto, že přehřátí kovu a předchřátí formy nevyžádaly vysoké tepelné gradienty uvnitř tuhnoucího ingotu. Růst sloupkového krystalu pokračuje od stěny kokily, protože menší přechlazení je nutné pro další růst sloupkových krystalů než pro nukleaci nových krystalů, a proto tepelný gradient je v tavenině kladný. Za těchto podmínek se stává vysvětlení zjemňování zrn obtížným. Je možné se domnívat, že tepelný gradient v tavenině není kladný v celé tavenině, ale že latentní teplo tuhnutí z tuhnoucí vrst-



Obr.8. Tepelné stavy v ingotu během tuhnutí sloupcových zón v čistém kovu bez vibrace./8/



Obr.9. Vliv vibrace na tevící teplotu a teplotu tvorjení zdrojků v čistém kovu a tvorjení rovnoměrných zrn./8/

vy sloupkových krystalů zvyšuje teplotu v bezprostřední blízkosti těhé stěny. Jakmile se vytvoří tato tepletní oblast, je potom efekt zjemnění zrn nebo přerušení růstu sloupkových krystalů vysvětlitelné u čistých kovů. Podmínky, které strukturu mnohých zrn přivodí během vibrace tuhnoucího čistého kovu s větší hustovou těhé fáze než taveniny, ukazuje obr.9.

Tlaková vlna působí tak, že zvětšuje stabilitu těhé nebo hustší fáze. To znamená, že vibrace účinně zvyšuje tevící teplotu, teplotu plynulého růstu krystalů a teplotu vzniku zárodků nových krystalů. Uspořádání ukazuje zase obr.9, kde plynulý růst krystalu během tlakové vlny je rušen zvýšením teploty produkované latentním teplem u stěny ztuhlého kovu.

Tlaková vlna zvyšuje teplotu nukleace natolik, aby dovolila nukleaci stabilních krystalů v oblasti nižší teploty (viz obr.čís.9). Podobné podmínky převládají u podtlakové vlny, když těhé fáze je specificky lehčí než tavenina.

Tento mechanismus zjemnění zrna u čistých kovů pomocí vibrace závisí jen na nepatrném zvýšení teploty u tuhnoucí stěny kovu. Je domněnka, že toto zvýšení teploty se děje, protože čisté kovy se tavi při jedné teplotě. Křivka chladnutí čistých kovů všeobecně ukazuje toto zvýšení teploty, které se děje při tuhnutí.

B.2.6. Shrnutí.

Zjemnění zrna při vibraci je vyvoláváno tlakovými a podtlakovými vlnami tím, že zvyšuje rychlosť nukleace (tvoření zárodků) tuhnoucí fáze. Velikost zjemnění zrna závisí na rozdílu mezi hustotou (specifickou vahou) taveniny a tuhého kovu při teplotě tuhnutí a na smrštování kovu. Čím vyšší jsou rozdíly v hustotě mezi taveninou a vznikající tuhou fází, tím větší je vliv tlakových vln. Právě u antimonu je rozdíl nejmenší, a tedy získání jemné struktury není lehkou záležitostí. Dále je-li rychlosť tuhnutí příliš velká tím, že je forma studená nebo je nedostatečné přehřátí kovu, projeví se malý vliv vibrace.

C. Antimon.

=====

Antimon, chemická značka Sb, je kov vyskytující se ve třech modifikacích - bílé, žluté a černé. Nejběžnější a nejstálejší formou je modifikace bílá. V této modifikaci má antimon stříbroleskou barvu a na lomových plochách má silný lesk od velkých krystalů kosočtverečné soustavy. Je tvrdý, křehký a nárazem se drobí na prach. Vyskytuje se v přírodě hlavně ve formě sirlíku a kysličníků, z kterých se také převážnou měrou vyrábí. /1/.

Některé hodnoty tohoto prvku :

specifická váha 6,69 gr/cm³

bod tavení 630,5°C

tavné teplo 20,6-38,9 kalorií/gr

smrštění 1,4% /8/.

Nepovažuji za vhodné uváděti zde způsoby výroby čistého antimonu z rud, protože jich je celá řada. Ale považoval jsem za nutné seznámit s vlastnostmi antimonu, jejichž znalost je potřebná pro správné ohodnocení výsledků experimentální části této diplomové práce.

D. Dosavadní výzkum technologie výroby antimonového kroužku.

D.1. Lití antimonového kroužku do kokil.

Litím antimonového kroužku se již zabýval

Státní výzkumný ústav materiálu a technologie v Praze (SVÚMT), který měl za úkol odlit sadu antimonových kroužků pro nultou serii vysílačů pH. Do jaké míry se podařilo získat požadovaných vlastností antimonového kroužku není možno ještě říci, protože se provozní zkoušky s těmito kroužky ještě neprováděly.

Byly však získány odlitky, které mají vzhledem k uvedené krystalisaci antimonu (viz kap.A 3) velmi pěknou strukturu, přibližující se daným požadavkům (viz obr.čís.10, příloha 5).

Technologie, kterou se antimonové kroužky v SVÚMT odlévaly, je následující. Antimon byl odléván do kovové kokily z kotlového plechu (viz obr.12, příloha 6), která byla začouzena nebo vystříkána kopolitem. Lití se provádělo při teplotě 700°C a za současné vibrace. Vibrace byla aplikována tak, že se rozklítila mechanickým způsobem ocelová tyč, na které byla kokila připevněna. Amplituda vibrace činila 0,5 mm a frekvence asi 100 c/sekol. Uvedené hodnoty však nejsou podle slov vedoucího výzkumu, přesněji měřené, takže podle nich nelze dělat přesné závěry.

Byly dělány pokusy, odlévat antimon x též do grafitové kokily (obr.čís.13, příloha 6). Ovšem výsledky ukázaly, že krystalisace je mnohem hrubší oproti lití do kovové kokily, protože je menší odvod tepla. Pokusy se sádrovou kokilou a sintrováním hned z počátku ukázaly nevyhovující strukturu antimonového kroužku.

Další vlivy, které se sledovaly, byla licí teplota antimonu a teplota kokily. Antimon byl přehříván až na 850°C , ale žádné podstatné změny ve struktuře odlitků nebyly zaznamenány. Výsledek zní, že nejvhodnější licí teplotou je teplota $650-700^{\circ}\text{C}$. Kokila byla ohřívána na $70-80^{\circ}\text{C}$. Též byla podchlazena až na -80°C , ale ukázalo se, že to nemá praktického významu.

Struktura antimonového kroužku, kterou dosáhl SVÚMT, je velmi dobrá. Ovšem není zaručena dostatečná hutnost a bezporosita odlitku. Při tomto způsobu lití je také nutné, aby byly přídavky na obrábění velké, protože horní vrstvy odlitku obsahují velký počet zatažení. Nejlepší povrch po obrobení je pochopitelně spodní část odlitku (viz obr.čís.11, příloha 3), která je nejhutnější. Ovšem u mnohých odlitků se po opracování objevily zataženiny, které celý odlitek znehodnocují (obr. čís.14, příloha 7).

D.2. Obrábění antimonového kroužku.

Obrábění antimonového kroužku je obtížné, protože antimon je velmi křehký kov a jeho krystaly se velmi lehce vylamují (obr. čís. 15, příloha 7). Proto je nutná jemná struktura, která by zaručila hladký povrch kroužku bez vylamování zrn při obrábění. Při obrábění antimonového kroužku nelze mluvit o tříse, protože se antimon drolí na prach. Přesto však je nutné volit úběr co nejmenší.

Antimonové kroužky byly obráběny přímo v ZPA Nová Paka a jsou tedy již jisté zkušenosti. Je výhodné obrábět kroužky nožem RADEC 0, při vyšších otáčkách. Slimuté karbidy se nedoporučují. Postup, kterým byly obráběny antimonové kroužky vyrobené v SVÚMT Praha, je následující :

hrubé obrobení čela (horní části odlitku-porášení)

sražení hrany

Vyvrtání díry načisto

obrobení čela načisto

otočení kusu

sražení hrany

obrobení druhého čela načisto (spodní část odlitku)

upnutí na trn

přetáčení boku kroužku.

Vhodná tříška je asi 0,6 mm/ot a pro obrobení načisto 0,1 mm/ot při co nejvyšších otáčkách. Nedoporučuje se dojíždět sražené hrany úplně, protože se vylamují zrna. I při dodržení všech těchto parametrů se nedosahovalo naprostě čistého povrchu, protože struktura odlitrků nebyla ještě dostatečně jemná. Zvláště pak špatný povrch se objevil vždy na straně porégní ^{části} odlitrku (viz obr. čís. 15, příloha 7). Proto se také přistoupilo k další práci na zjemnění struktury antimonu. Tento úkol by mi připadl jako diplomní práce.

E. Experimentální část odstředivého odlévání
=====
antimonového kroužku za současné vibrace.
=====

E.1. Úvod.

Po získání znalostí a odstředivém lití a vibraci z literatury jsem přistoupil k vlastní experimentální části diplomové práce. V první části bylo nutno zkonstruovat zařízení pro odstředivé lití antimonových kroužků za současné vibrace (viz obr. 36, příloha 4). Při konstrukci jsem musel vzít v úvahu všechny faktory, které mají vliv na zjemnění zrna a na hutnost odlitku. Těchto faktorů je celá řada - vibrace (frekvence a amplituda), otáčky kokily, teplota kokily, teplota lití, kokila s nátěrem, kokila bez nátěru.

Vzhledem k velkým obtížím při výrobě licího zařízení, které zčas na experimentální zkoušky zkrátily na minimum, jsem musel vyloučit prozkoumání některých těchto faktorů a spoléhat se na dosavadní výsledky z SVÚMT v Praze. Přesto však jsem si ověřil alespoň částečně správnost těchto faktorů zkouškami při extrémních hodnotách. Nemohu také zaručit, že antimonové kroužky mají požadovanou čistotu, protože materiál, který mi byl dodán ke zpracování, byly velmi zaolejované antimonové třísky po obrábění. Musel jsem je nejprve přetavit v elektrické peci pod boraxem a odlít z nich menší válečky, které mi pak

sloužily jako materiál pro zkoušky.

E.2. Stručný popis odstředivě-vibračního zařízení.

Odstředivě-vibrační zařízení sestává z částí, které jsou detailně prokresleny (viz příloha).

Z výkresu sestavy je patrná činnost tohoto zařízení (viz příloha 21). Celé zařízení je pokusné, a proto bylo pamatováno na určitou universálnost.

Pro rotaci byl použit pneumatický motorek, který má možnost plynulé změny otáček v rozsahu od 0 - 2.000 ot/min. Otáčky byly měřeny otáčkoměrem a kolísaly v určitém rozsahu podle množství vzduchu dodávaného kompresorem. Pro provádění zkoušky však pneumatický motorek plně vyhovoval. Pro výrobu antinových kroužků je nutno použít elektrického motorku, který zaručuje neměnnost otáček.

Pro vibraci byl použit stejnosměrný elektrický motorek o výkonu 160 W, který má též možnost plynulé změny otáček v rozsahu od 0 - 7.000 ot/min.

Motorek byl napájen ze selenového usměrňovače (viz obr. 16, příloha 17). Vibrace je provedena nucená, exentricky uloženým hřídelem, protože pružiny by při vyšší frekvenci kmitání nezaručovaly vracení kmitajícího tělesa. Pružiny pouze zmenšují zatížení exentricky uloženého ^{hřídele} kroužku. Kmitající těleso je upevněno ve svařované konstrukci (viz příloha 21), které plně vyhověla požadavkům při provádění pokusů.

E.3. Provádění zkoušek.

Před každým litím byl navážen kov (11,5 dkg) na laboratorních vahách a vysypán do grafitového kelímků. Vážení bylo nutné pro získání správného tvaru odlitku při odlévání (vnitřní díry). Před vložením do peci byl kov posypán boraxem, který tvořil ochrannou vrstvu při tavení v peci. Kov byl taven v elektrické silitové peci na příslušnou teplotu a byl v peci asi 20 min., aby se dostatečně prohřál v celém objemu. Po vytažení z peci byla stažena struska a teplota taveniny změřena thermochlánkem. Současně se z měřením otáček kokily a nastavením frekvence kmitání na selenovém usměrňovači byl odlit antimonový kroužek. Před každým litím byla ještě řádně vysušena a nebo přede hřátka kokila na příslušnou teplotu. Kokila nesmí být vlhká, jinak malitý kov vystříkne ven z kokily. Po odlití byl ihned odlitek přeražen. Některé odlitky, které měly jemnou strukturu, byly obráběny, aby bylo zjištěno jakého povrchu se při té které jemnosti struktury dosáhlo (viz obr. č. 31, příloha 14).

Hustota odlitku nebyla kontrolována röntgenem, ale byla posuzována podle lomu odlitku. Byly zjištěny pouze nepatrné pory v odlitcích litých bez rotace při pouhé vibraci nebo při vysoké licí teplotě a přede hřátí kokily na vysokou teplotu (viz obr. 32, příloha 14). Velké staženiny, jako je na příklad na obrázku 15, příloha 7, nebyly v žád-

VŠST LIBEREC

Odstředivé odlévání Sb kroužku

**DP - ST 76/62 29
3. LISTOPADU 1962**

Miroslav Pacák.

ném případě zjištěny.

Ampituda kmitání nebyla pro velkou časovou tís-
sen měněna. Získané výsledky však ukazují, že ampli-
tuda 1,2 mm, která byla použita, je plně vyhovující
a může být používána i při výrobě antimonových krouž-
ků. Ostatní hodnoty všech parametrů, při kterých byly
zkoušky prováděny, jsou sestaveny přehledně v tabulce
(list 30 a 31 a 32).

VŠST LIBEREC

Odstředivé odlévání Sb kroužku.

DP - ST 76/62 30**3. LISTOPADU 1962**

Miroslav Pacák.

Tabulka hodnot parametrů odstředivého odlévání

Číslo měření	rotáčky ot/min.	vibrace c/sec.	teplota kokily °C	licí teplota °C
1	700	30	70	650
2	1000	30	70	650
3	1300	30	130	650
4	450	30	130	650
5	700	15	80	650
6	1200	15	80	650
7	390	15	80	650
8	1400	15	80	650
9	1400	30	80	650
10	1400	30	20	650
11	1400	30	70	650
12	1400	30	20	700
13	1400	30	70	700
14	1400	30	20	750
15	1400	30	70	750
16	390	22	300	750
17	390	22	20	750
18	180	22	20	750
19	450	22	300	750
20	590	22	300	750
21	390	30	300	750
22	1200	0	20	750
23	450	30	80	650
24	180	30	70	650
25	390	30	70	650

VŠST LIBEREC

Odstředivé odlévání Sb kroužku.

DP - ST 76/62 31**3. LISTOPADU 1962**

Miroslav Pacák.

Číslo měření	otáčky ot/min.	vibrace c/sec.	teplota kokily °C	licí teplota °C
26	450	15	20	650
27	700	15	20	700
28	700	30	20	700
29	700	45	20	700
30	700	60	20	700
31	700	22,5	20	700
32	700	15	400	700
33	0	45	20	700
34	180	45	20	700
35	450	45	20	700
36	700	45	20	700
37	0	60	20	650
38	0	30	20	700
39	0	15	20	700
40	0	30	20	900
41	0	30	20	850
42	0	30	20	800
43	0	30	20	750
44	0	30	20	700
45	0	30	20	650
46	450	30	150 n	800
47	450	30	150 n	900
48	450	30	150 n	700
49	450	30	150 n	650
50	180	30	20	900
51	180	30	20	800

VŠST LIBEREC

Odstředivé odlévání Sb kroužku

DP - ST 76/62 32**3. LISTOPADU 1962**

Miroslav Pacák.

Číslo měření	otáčky ot/min.	vibrace c/sec.	teplota kokily °C	licí teplota °C
52	180	30	20	700
53	180	30	20	650
54	1400	30	20	650
55	180	45	150	700
56	180	45	300	700
57	180	45	300 n	700
58	180	45	150 n	700
59	700	45	300 n	700
60	1400	45	300 n	700
61	450	45	300 n	700
62	1400	60	300 n	700
63	180	60	300 n	700
64	450	60	300 n	700
65	700	60	300 n	700

Vysvětlivky:

n - kokila s natěrem

20°C teploty kokily znamená nepředehřívánou
kokilu.

E.4. Vliv jednotlivých faktorů na zjemnění struktury antimonu.

E.4.1. Rotace.

Hlavní vliv na zjemnění struktury má vibrace /8/, která ruší plynulý růst krystalů. Protože však jde o jednoduchý rotační tvar odlitku (viz příloha 4), přistoupilo se k prozkoumání výroby antimonových kroužků odstředěním za současné vibrace. Zároveň se tím sledovalo získání dostatečné hutnosti a bezpórovitosti odlitků, čehož lze těžko dosáhnout při statickém lití.

Již první pokusy při odstředivém lití antimonových kroužků daly najevo, že rotace bude mít podstatný vliv na jemnost struktury. Podle literatury /5/, čím vyšší otáčky, tím hrubší zrno. Výsledky zkoušek potvrdily správnost těchto údajů. Nejlépe je to vidět ve srovnání obrázku čís. 23, příl. 10. a obr. č. 27, příl. 12, jakož i obr. 24, příl. 10 a obr. 25, příl. 11, kde však již nejsou tak velké rozdíly, poněvadž otáčky se liší o malou hodnotu. Z výsledků zkoušek jsem sestavil graf závislosti jemnosti zrna na otáčkách kokily (viz obr. č. 18). Zjemnění struktury bylo posuzováno však pouze podle vzhledu lomové plochy odlitku. Proto v grafu není vyneseno žádné stupnice, která by ostře ohrazenila velikost zjemnění struktury jednotlivých odlitků.

To platí pro všechny grafické závislosti zde uvedené. Graf závislosti jemnosti zrna na otáčkách kokily potvrzuje skutečnost, že čím nižší otáčky, tím jemnější struktura. Tento fakt potvrzuje též oba další grafy (viz obr. 17 a 19). Při zkouškách bez rotace za pouhé vibrace byla struktura nejjemnější, ovšem tvar odlitku a jeho povrch byl velmi špatný. Nepůsobila zde žádná odstředivá síla, a tedy žádný otvor uprostřed odlitku se neutvořil a povrch byl velmi nerovný.

Podle M.M. Čepinoga /11/ jsou nejmenší otáčky kokily, kdy se získá ještě správný tvar odlitku, rovny výrazu

$$n_{\min} = 9,55 \sqrt{\frac{g}{2 \cdot r_0} \left(7 - \frac{r_0^2}{R^2} \right)} \text{ ot./min.},$$

kde $g = 9,81 \text{ m/s}^2$

r_0 = vnitřní poloměr odlitku v m

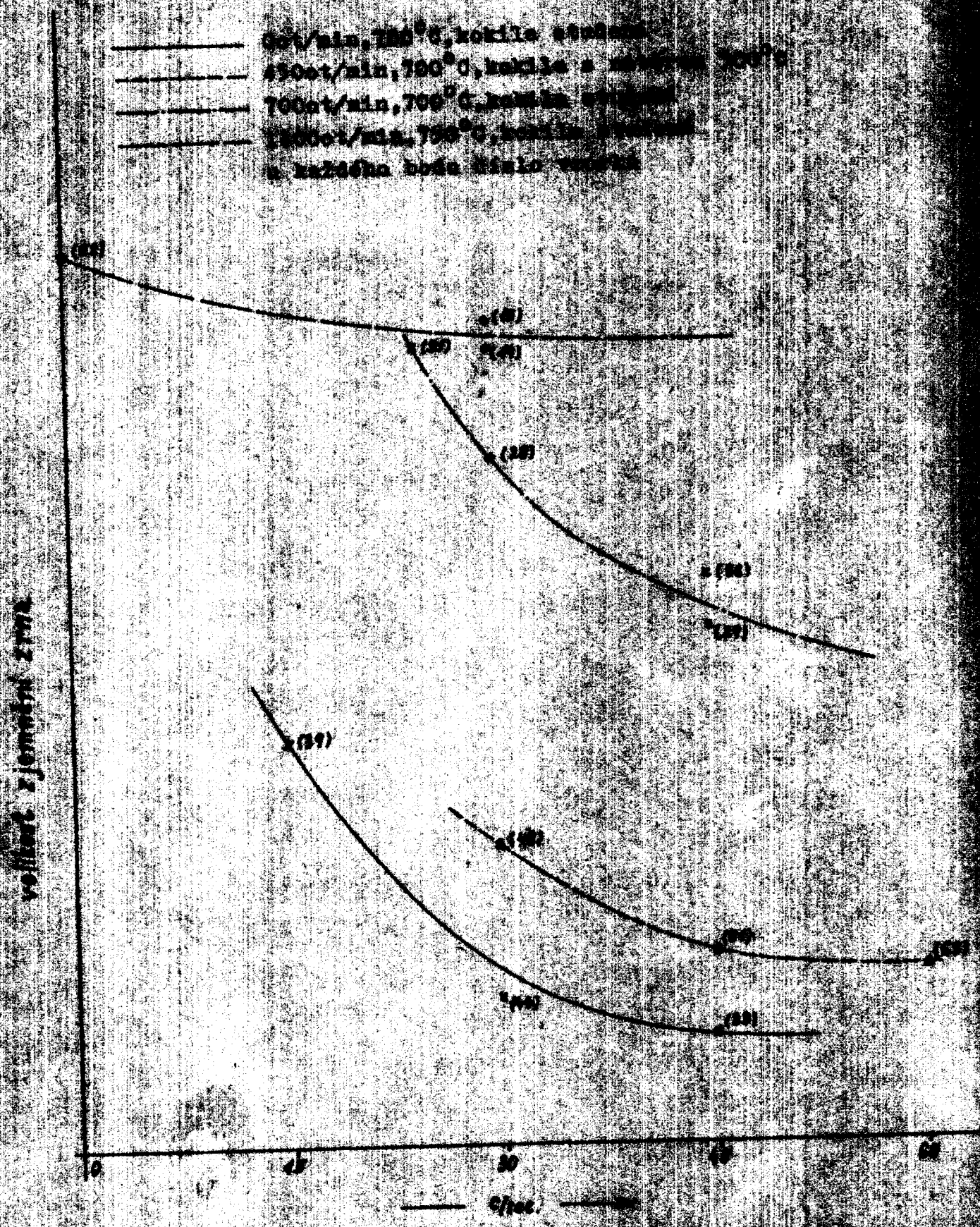
R = vnější poloměr odlitku v m.

Podle tohoto výrazu jsou nejmenší otáčky kokily

$n_{\min} = 440 \text{ ot./min.}$. Tyto otáčky také vyhovovaly při vibracích až do 45 c/sec.. Při vyšších vibracích již byl vnitřní tvar odlitku špatný a kov při nižších otáčkách za těchto vibrací vystříkával z kokily.

Výsledky ukázaly, že optimální otáčky jsou 450 ot./min.

Pokusně byl také odlit kroužek za pouhé rotace (viz obr. 21, příl. 9). Určitého zjemnění zrna se dosáhlo oproti staticky litému kroužku (viz obr. 5, příl. 2).



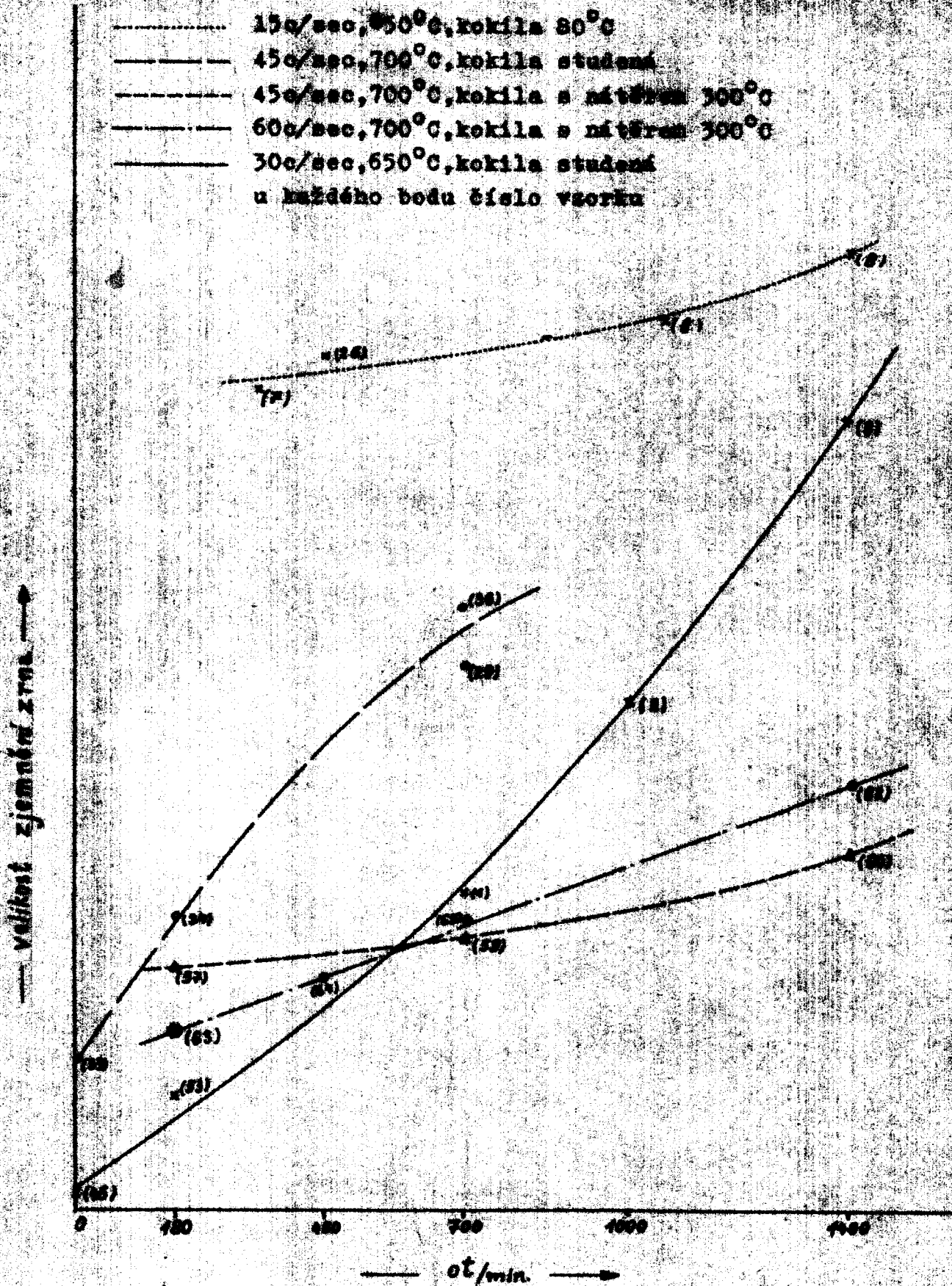
Obs. 17. Ordinates are arbitrary, but same for all curves.

Chodnotit získanou strukturu je však možno nejlépe ve srovnání se strukturou kroužku odlitého za pouhé vibrace (viz obr.20, příl.13). Zde je jasné vidět, že rozhodující vliv na zjemnění struktury má vibrace.

2.4.2. Vibrace.

Vibrace, která má největší vliv na zjemnění struktury, byla sledována nejpodrobněji. Frekvence knitání byla měněna v rozsahu od 0 až do 60 cyklů/sec., aby bylo dosaženo alespoň frekvence, která je uváděna v literatuře /8/ a struktura odlitých kroužků mohla být srovnána s již dosaženými výsledky.

Je nutno konstatovat, že vibrace vyšší jak 45 c/sec. při odstředivém vibračním způsobu lití antimonevých kroužků, již nemají podstatného vlivu na zjemnění struktury odlitku, viz srovnání obr.28, příl.12 a obr.29, příl.13. Oproti tomu velmi jasný je rozdíl ve struktuře odlitku litého při nízké frekvenci (viz obr.20, příl.8) a při vysoké frekvenci (viz obr.25, příl.11) za stejných hodnot ostatních parametrů. Závislost jemnosti zrna odlitku litých odstředivě vibračním způsobem na velikosti frekvence knitání je patrná z grafu obr.17. Čím vyšší frekvence, tím jemnější struktura odlitku. Výsledky ukazují, že optimální frekvence je 45 c/sec., ovšem v souladu s hodnotami ostatních parametrů - hlavně otáček kokily. Větší vliv vibrace na zjemnění struktury oproti otáčkám kokily je možno posoudit též srovnáním obr.22, příl.9 a obr.26, příl.11.



Obr. 18 Graf závislosti jemnosti srna na otáčkách kolíky.

Z uvedených výsledků plyne, že optimální hodnoty vibrace pro výrobu antimonového kroužku odstředivě vibračním způsobem budou - amplituda 1,2 mm a frekvence 45 c/sec.

E.4.3. Lici teplota.

Lici teplota nemá mít, podle zprávy SVÚMT Praha, podstatný vliv na strukturu odlitku. Tento poznatek se do jisté míry potvrdil i v odstředivě vibračního způsobu lití antimonových kroužků. Teplota tavení antimonu je 630°C . T. zn., že je nutno antimon tavit nejméně na 650°C , aby byl zaručen dostatečně tekutý kov. Tato teplota je však ještě dost nízkou, než aby vyhověla požadavkám na získání dobrého odlitku. Než se kov začne lít do kokily, částečně se ještě ochladí (před litím se měřila teplota taveniny thermočlánkem) a pak ztuhne v nálevce nebo vznikají studené svary na povrchu odlitku (viz obr.34, příl.15). Pro zlepšení povrchu odlitku a odstranění studených svarů je tedy nutno zvýšit licí teplotu kovu. Cvičem licí teplota nesmí být zase příliš vysoká. Na příklad při 900°C se projevilo viditelné zhrubnutí struktury, takže na licí teplotě do určité míry přece jen závisí (srovnání obr.32, příl.15 a obr.27, příl.12). V rozmezí od 650°C do 800°C nebylo zjištěno podstatných změn ve struktuře odlitků litých při stejných ostatních parametrech. Nejnázornější je to vidět na grafu závislosti jemnosti zrna na licí teplotě (viz obr.19).

CH₃/CH₂, 100/200, 200/100, 100/100
1000/100, 700/200, 1000/1000
2500/100, 300/200, 100/100
in lactato body fluids

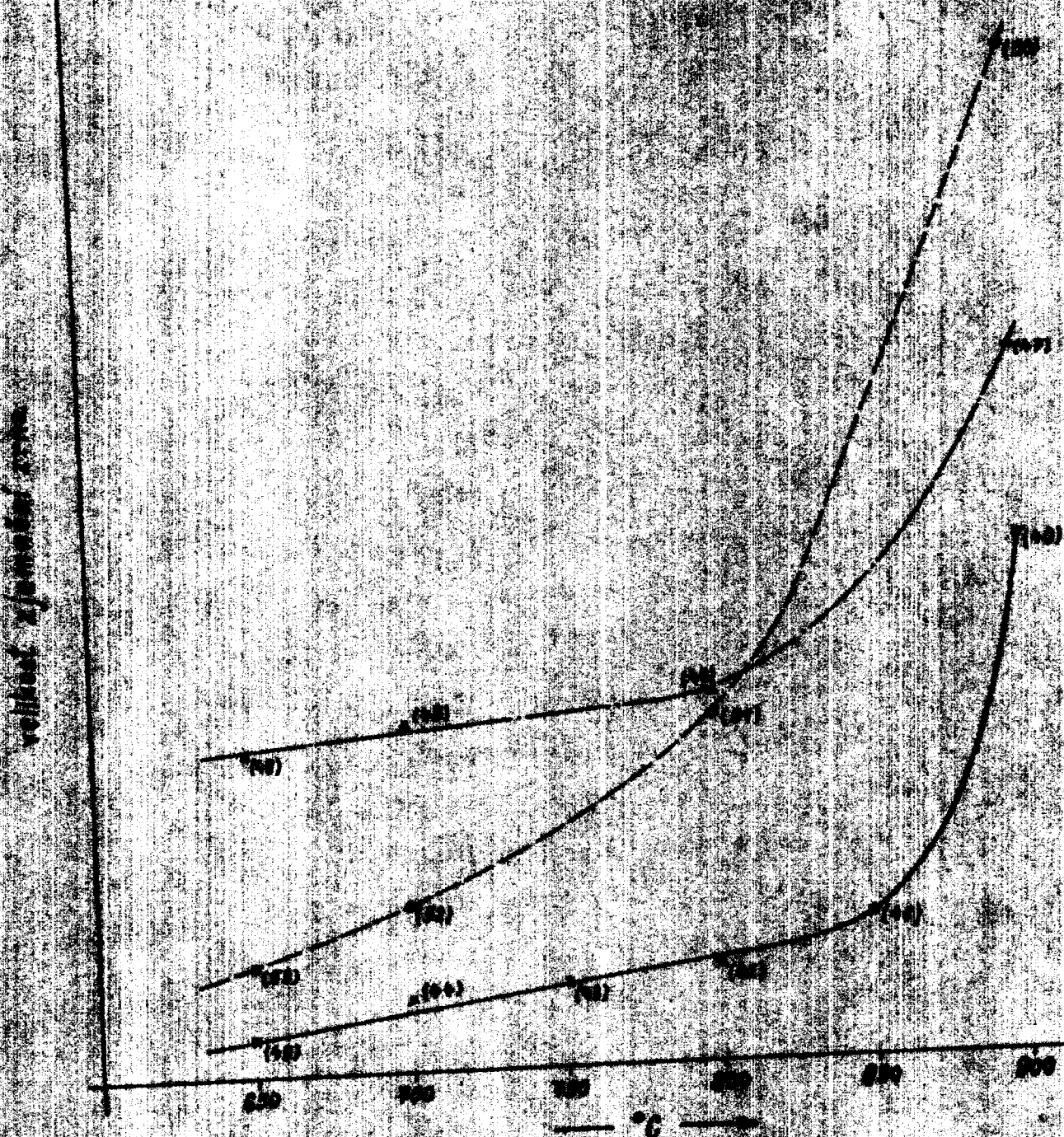


Fig. 19. Effect of temperature on viscosity of some polymers
in lactate body fluids.

Z tohoto grafu zároveň plyně závislost jemnosti zrnu na otáčkách kokily.

Optimální lici teplotou je teplota 700°C , která zaručuje povrch bez studených svarů a ještě nepůsobí hrubnutí struktury. Při této teplotě byla odliata také většina kroužků, které ve větší míře vyhovely daným požadavkům.

E.4.4. Kokila.

Kokile, jedné z nejdůležitějších částí licího zařízení, byla věnována též dostatečná pozornost. Sledoval se hlavně vliv teploty kokily na strukturu a povrch odlitrků. Kokila byla měděná z důvodu dobrého odvodu tepla. Předpokládalo se totiž, že chlazení bude mít též podstatný vliv na strukturu odlitrků. Ovšem jak se později ukázalo, musel být naopak odvod tepla omezen předehřátím kokily. Je-li nízká lici teplota a studená kokila, kov rychle tuhne, aniž se může uplatnit vliv vibrace. Zvýšila se tedy lici teplota a hledala se optimální teplota předehřátí kokily. Optimální teplota kokily je asi 150°C . Vysoká teplota předehřátí kokily nemá podstatný vliv na strukturu odlitrku.

Jak bylo možno pozorovat u většiny vzorků, tvořila se na povrchu odlitrku slabá vrstvička jemných krystalů, pak následovaly hrubé sloupkové krystaly a střed až k vnitřnímu povrchu odlitrku tvořila zese jemná struktura (viz obr.26, příl.11). Tento jev

by se dal vysvětlit pomocí teorie tlakových a podtlakových vln vznikajících vibrací a pomocí nerovnoměrného rozložení teplotního gradientu v tavenině podle /8/ (viz kapitola E.2.5.). Teorie vysvětluje zjemnění zrna pomocí nerovnoměrného rozložení teplotního gradientu v tavenině (viz obr.9, list 18) a pomocí latentního tepla produkovaného povrchovou tuhnoucí vrstvou, která má právě vliv na nestejnoměrné rozložení gradientu v tavenině, t.zn. že teplotní gradient není v celém rozsahu taveniny kladný. Právě při nalezení optimálních podmínek lití nastává zřejmě tak příznivé rozložení teplotního gradientu, při kterém zjemnění struktury odlitku probíhá pak v celém objemu odlitku (viz obr.29, příl.13).

Tento jev je možno vysvětlit však i přijatelnějším způsobem, t.j. postupem tuhnutí kovu v kokile.

Po nalití kovu do studené kokily se ihned utvoří slabá vrstvička jemných krystalických dendritů, které tvoří jakousi tepelnou isolaci vrstvičku a brání dalšímu rychlému chladnutí kovu. Pak musí následovat takové poměry tuhnutí, že při určitých parametrech odstředivého lití se tvoří sloupkové krystaly až do té doby, kdy se změní tyto poměry tuhnutí (hlavně tepelný gradient). Pro další průběh tuhnutí je vytvořena již dosti silná vrstva ztuhlého kovu, takže tavenina uprostřed odlitku chladne pomalu. Rotace kokily za současné vibrace má za následek chaotický pohyb této taveniny, takže uprostřed odlitku vzniká

jemná struktura. K získání obdobných poměrů tuhnutí je tedy možno dojít předebehřátím kokily, t.j. zpomalením chladnutí taveniny, při čemž se v plném rozsahu může uplatnit vibrace. Toto vysvětlení nestejnomořného tuhnutí odlitku bylo vytvořeno ze získaných výsledků zkoušek.

Je nutno se také zmínit o vlivu nátěru na kokile. Nátěr na kokile nemá podstatný vliv na strukturu odlitku, ale výrazně se projevuje jeho vliv na povrch odlitku - jeho kvalitu. Povrch odlitku odlitého do kokily s nátěrem je daleko kvalitnější než povrch odlitku litého do kokily bez nátěru (viz srovnání obr.35, příl. 16 a obr.34, příl.15). Byl používán nátěr o složení:

50 g kysličníku zincnatého

15 g vodního skla

15 g grafitu

1000 g vody.

Nátěr musel být obnovován asi po každém třetím odlití. Vytvoření nátěru - nejprve se musela kokila dostatečně vyhřát (600°C), aby nátěr dobře přilnul, pak vystříkat nátěrem a nechat vypálit asi na 300°C . Pak teprve bylo možno dosáhnout dobrého povrchu odlitého antimonového kroužku.

E.4.5. Návrh technologického postupu výroby antimonových kroužků odstředivě vibračním způsobem.

Z uvedeného rozboru výsledků zkoušek odstředivě vibračního lití antimonových kroužků je možno sestavit technologický postup výroby těchto kroužků.

Postup:

přesné navážení antimonu - 11,5 dkg

tavení antimonu v elektrické peci v grafitovém kelímku pod boraxem při teplotě 700°C po dobu 20 min.

změření teploty taveniny thermočlánkem

licí teplota 680°C až 700°C

otáčky 450 ot./min.

frekvence kmitání 45 c/sec.

amplituda 1,2 mm

předehřátí kokily 150°C až 200°C .

F. Závěr.

=====

Výsledky odstředivě vibračního způsobu lití antimonových kroužků je možno shrnout do těchto bodů:

- Na kvalitu povrchu antimonových kroužků a na jemnost struktury mají vliv - vibrace, otáčky kokily, teplota kokily, nátěr kokily a licí teplota.
- Vibrace - čím větší frekvence kmitání, tím jemnější struktura. Optimální frekvence - 45 c/sec.
 - amplituda nemá podstatný vliv na zjemnění struktury. Doporučuje se amplituda 1,2 mm.
- Otáčky kokily - čím vyšší otáčky, tím hrubší zrno. Optimální otáčky - 450 ot./min.

- Kokila - nevhodnější teplota předelehřátí kokily je 150°C . Pro získání dobrého povrchu odlitku je nutno kokilu vystříkat nátěrem.

- Licí teplota - nižší licí teplota je vhodnější. Při vysoké licí teplotě dochází k hrubnutí zrn. Optimální teplota je 700°C .

V závěru práce je nutno podotknout, že vzhledem k nečekaným obtížím při práci, byly získány dobré výsledky. Nyní je nutno provozně vyzkoušet, do jaké míry takto vyrobené antimonové kroužky vychovují. Doufám, že má práce být úspěšná a antimonové kroužky v provozu uspokojí všechny požadavky na ně kladené.

VŠST LIBEREC

Odstředivé odlévání Sb kroužku

DP - ST 76/62 42

3. LISTOPADU 1962

Miroslav Pacák.

Děkuji s.prof.inž.Bohumilu Odstrčilovi za poskytnutou pomoc při diplomové práci a zvláště pak děkuji s.inž.Jaroslavu Exnerovi a s.Stanislavu Jenšímu, kteří se velkou měrou zasloužili o to, aby zařízení pro odstředivé lití bylo dáno včas do provozu.

v Liberci dne 3.listopadu 1962.

VŠST LIBEREC

Odstředivé odlévání Sb kružku.

DP - ST 76/62 43

3. LISTOPADU 1962

Miroslav Pacák

Seznam literatury.

- 1) Ján Gajdoš: "Antimon, měď, olovo", SVTL, Bratislava 1961.
- 2) Lozenko, Pokrovskij: "Kokilové a odstředivé odlévání", Průmyslové vydavatelství, Praha, 1951
- 3) Ložičevskij, Jeršov: "Konstrukce a výroba kovo-vých forem", SNTL, Praha, 1953
- 4) Levin, Popova: "Centroběžnaja entlivkametallov" Mažgiz, Saratov, 1957
- 5) A.I.Bajkov: "Centroběžnoje litie", Mažgiz, Léningrad - 1956
- 6) Bajkov: "Odstředivé lití hliníkových slitin", Průmyslové vydavatelství, Praha 1952.
- 7) Judin, Rosenfeld, Levin: "Centroběžnoje litie", Mažgiz, Moskva - 1962
- 8) R.G.Garlik, J.F.Wallace: "Grain refinement of solidifying metals by vibration", Modern castings
- 9) A.M.Ietričenko: "Praktika litia v metalličeskije formy" Mažgiz, Kijev - 1952
- 10) E.N. Nogova, A.V.Kugel, N.A.Kuzněcov: "Spravočník litějščíka" Kostěchiagav USSR, Kijev - 1955
- 11) L.I.Vějnik: "Těorijs a sobich vidov litia" - Mažkiz - Moskva 1957
- 12) Kolektív autorů: "Technologie strojírenské výroby", díl II., Slévárenství, Průmyslové vydavatelství, Praha 1952.
- 13) Gieserei, čís.16, 9.srpna 1951-překlad, SVA, Kosmonosy.

Obsah. =====	Strana
Úvod.	1
A. Stručný popis měření pH roztoků a měřicích přístrojů.	
A.1. Měření pH roztoků.	2
A.2. Měřicí přístroje - pH metry.	3
A.2.1. Stručný popis přístroje.	3
A.2.2. Použití přístroje.	4
A.3. Specifikace a zdůvodnění požadované kvality antimonového kroužku.	6
B. Teorie odstředivého a vibračního lití.	
B.1. Odstředivé lití.	
B.1.1. Vliv odstředivého lití na strukturu odlitku.	8
B.1.2. Konvekční proudy.	9
B.1.3. Shrnutí.	10
B.2. Zjemnění struktury tuhnoucích materiálů vibrací.	10
B.2.1. Úvod.	10
B.2.2. Přenosem vibrací energie.	12
B.2.3. Provádění pokusů.	13
B.2.4. Výsledky pokusů.	14
B.2.5. Mechanismus zjemnění zrnu u čistých kovů.	17
B.2.6. Shrnutí.	20
C. Antimon.	21
D. Dosavadní výzkum technologie výroby Sb kroužku.	
D.1. Lití antimonového kroužku do kokil.	22
D.2. Obrábění antimonového kroužku.	24
E. Experimentální část odstředivého odlévání	

	Strana
antimonového kroužku za současné vibrace.	
E.1. Úvod.	26
E.2. Stručný popis odstředivé vibračního zařízení.	27
E.3. Provádění zkoušek.	28.
Tebulka hodnot parametrů odstředivého odlévání.	30
E.4. Vliv jednotlivých faktorů na zjemnění struktury antimonu.	
E.4.1. Rotace.	33
E.4.2. Vibrace.	35
E.4.3. Líci teplota.	36
E.4.4. Kokila.	37
E.4.5. Návrh technologického postupu Sb kroužku.	40
F. Závěr.	41
Seznam literatury.	43

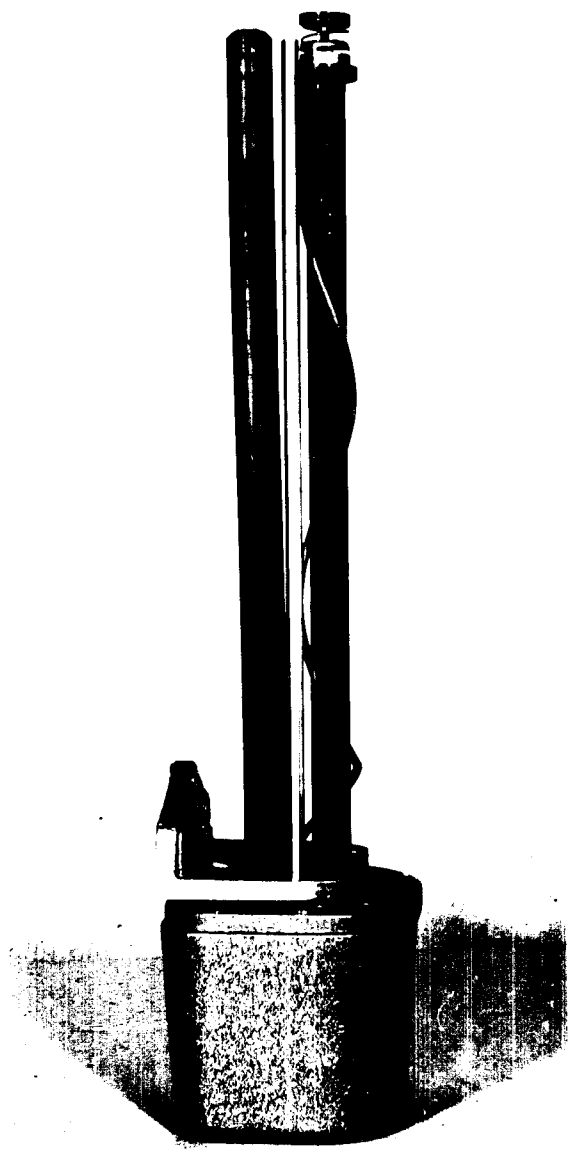
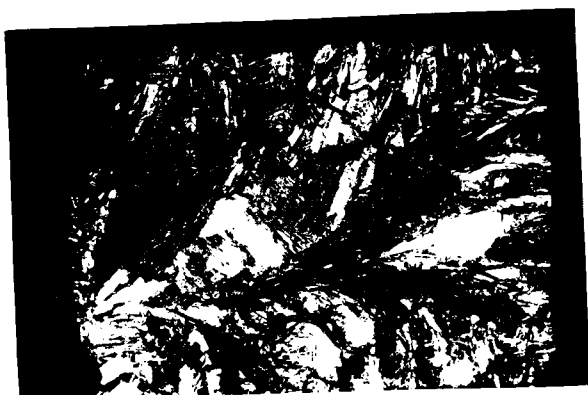


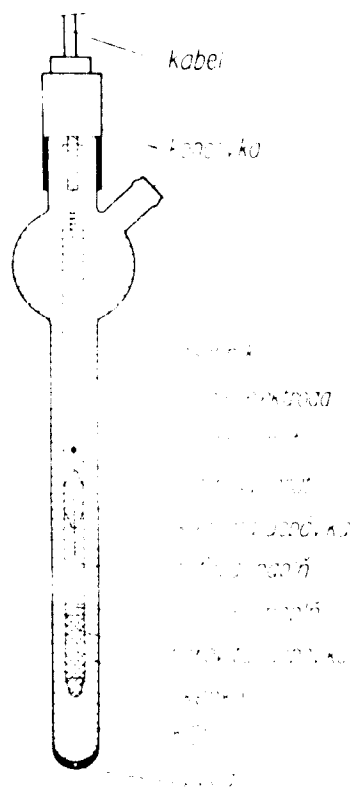
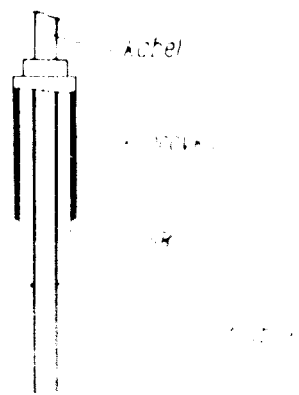
Fig. 1. A pump used in the laboratory to move the water from the reservoir to the filter.

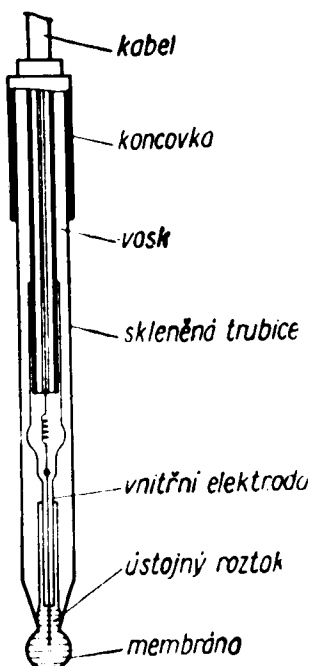


Zvětšeno 2,5x.

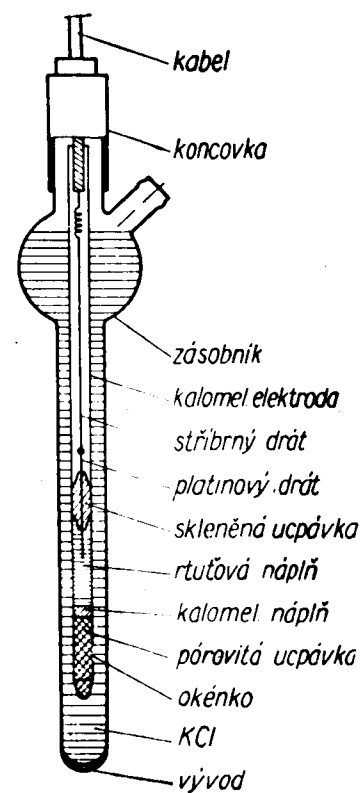


Zvětšeno 3,5x.

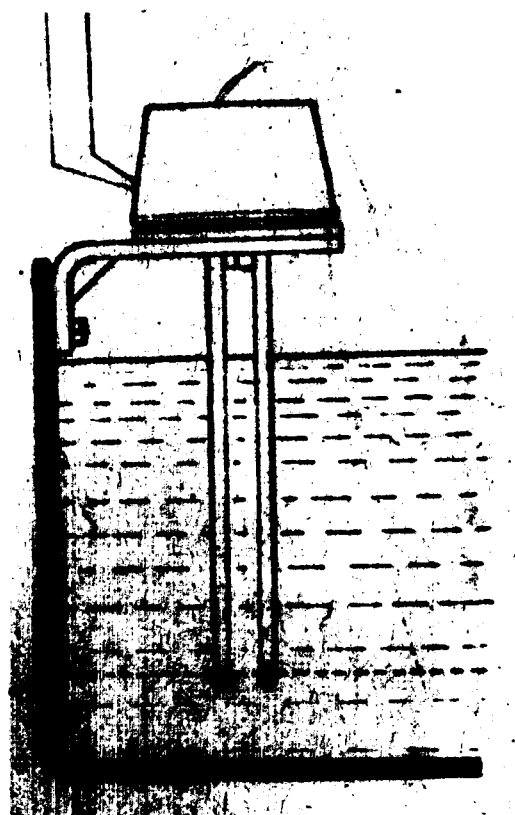




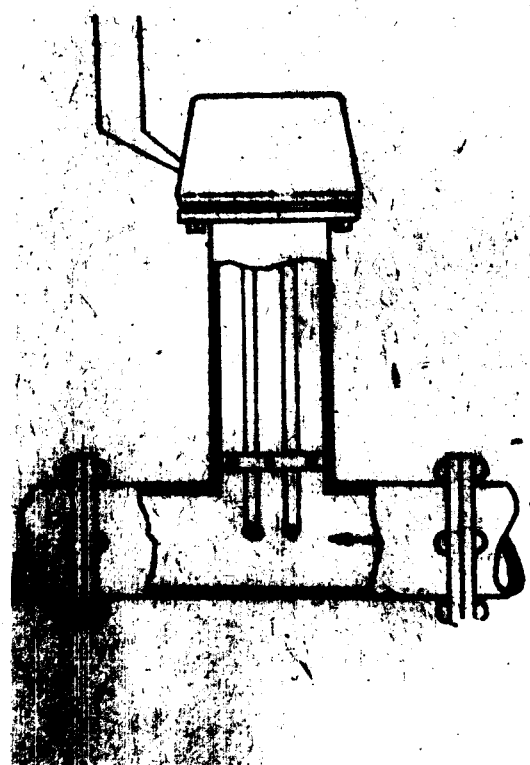
Obr.1. Skleněná elektroda.



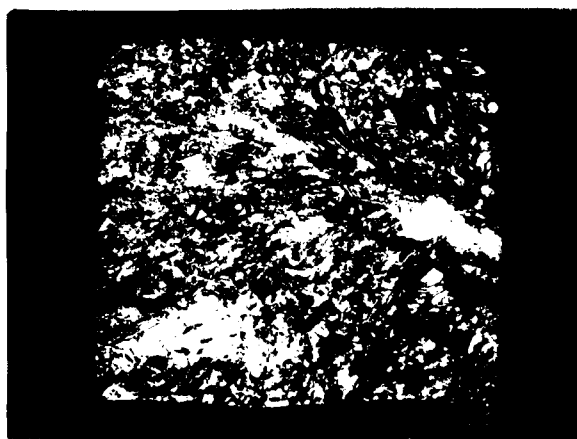
Obr.2. Kalomelová elektroda.



Obr.3. Příklad upevnění ponorného vysílače pH se stíranou antimonovou elektrodou v nádrži při měření klidné kapaliny.



Obr.4. Příklad upevnění průtočného vysílače pH se stíranou antimonovou elektrodou v potrubí.



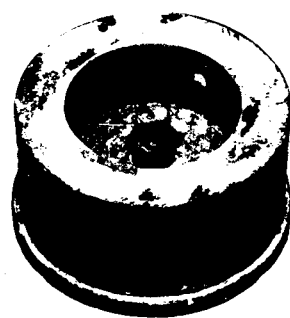
Obr.10. Lom antimonového kroužku
odlitého vibračně v SVÚMT Praha.
Hodnoty lití: statické, 100 c/sec.,
licí teplota - 700°C.

Zvětšeno 4x.

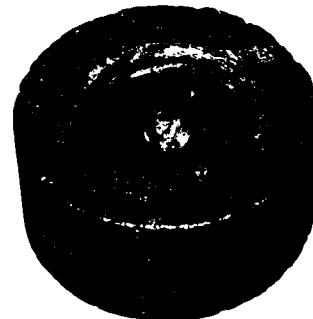


Obr.11. Povrch antimonového kroužku
odlitého v SVÚMT Praha - dolní bez-
porovitá část. Hodnoty lití: static-
ké, 100 c/sec., licí teplota 700°C.

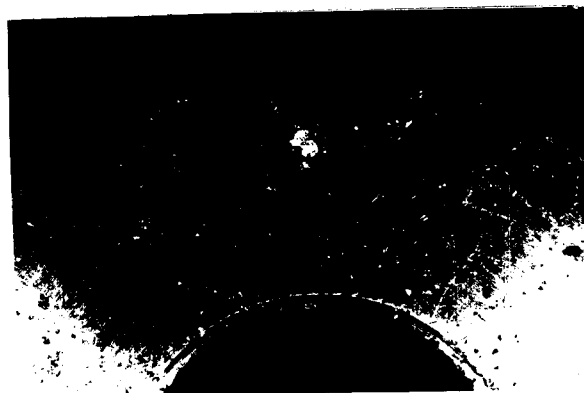
Zvětšeno 2,5x.



Obr.12. Kokila z kotlového plechu.



Obr.13. Grafitová kokila.



Obr.14. Obroběný povrch odlitku ze SVÚMT Praha - staženina, která se objevila po obrobení.

Hodnoty lití: statické, 100 c/sec., licí teplota 700°C.

Zvětšeno 2,5x.



Obr.15. Lom antimonového kroužku odlitého vibračně v SVÚMT Praha - staženina ve struktuře.

Hodnoty lití: statické, 100 c/sec., licí teplota 700°C.

Zvětšeno 4x.



Obr. 16. Obrobený povrch odlitku ze SVÚMT Praha - vylámaná zrna na krajích i v celém rozsahu povrchu.
Hodnoty lití: statické, 100 c/sec.,
licí teplota 700°C .

Zvětšeno 2,5x.



Obr. 20. Lom antimonového kroužku odlitého odstředivě vibračním způsobem.

Hodnoty lití: 700 ot/min., 15 c/sec.,
licí teplota 700°C , teplota kokily
 400°C .

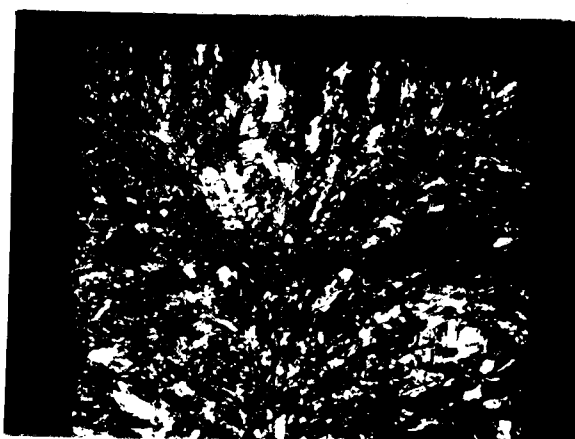
Zvětšeno 4,5x.



Obr.21. Lom antimonového kroužku
odlitého odstředivě vibračním způ-
sobem.

Hodnoty lití: 1200 ot./min., 0 c/sec.,
licí teplota 700°C , kokila studená (20°C).

Zvětšeno 4,5x.



Obr.22. Lom antimonového kroužku
odlitého odstředivě vibračním způ-
sobem.

Hodnoty lití: 300 ot./min., 15 c/sec.,
licí teplota 650°C , studená kokila (20°C).

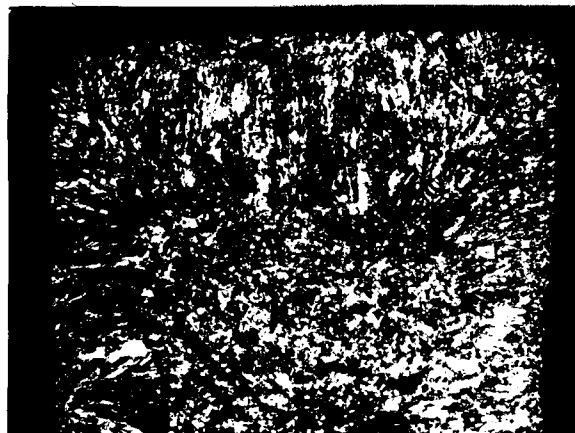
Zvětšeno 4,5x.



Obr.23. Lom antimonového kroužku odlitého odstředivě vibračním způsobem.

Hodnoty lití: 1400 ct./min., 30 c/sec., licí teplota 650°C , studená kokila (20°C).

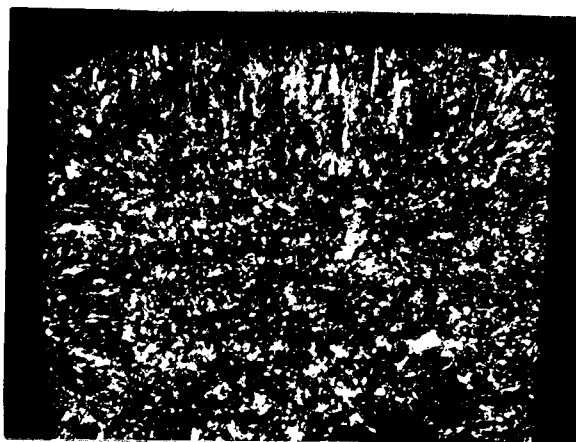
Zvětšeno 4,5x.



Obr.24. Lom antimonového kroužku odlitého odstředivě vibračním způsobem.

Hodnoty lití: 1400 ct./min., 60 c/sec., licí teplota 700°C , teplota kokily 300°C .

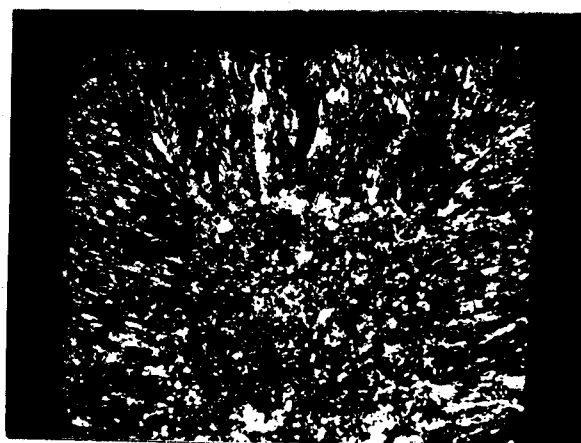
Zvětšeno 4,5x.



Obr.25. Lom antimonového kroužku odlitého odstředivě vibračním způsobem.

Hodnoty lití: 700 ot./min., 60 c/sec., lící teplota 700°C , teplota kokily 300°C .

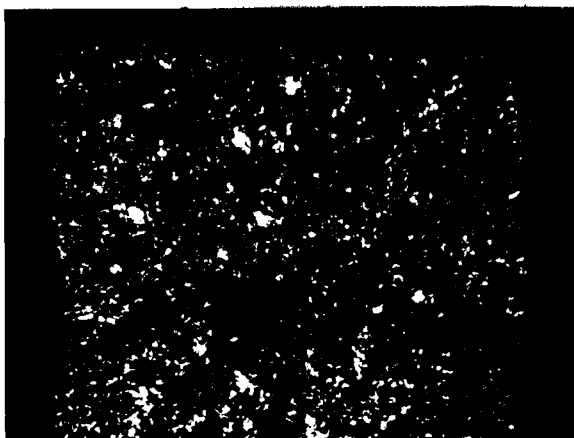
Zvětšeno 5x.



Obr.26. Lom antimonového kroužku odlitého odstředivě vibračním způsobem.

Hodnoty lití: 1400 ot./min., 30 c/sec., lící teplota 650°C , studená kokila (20°C).

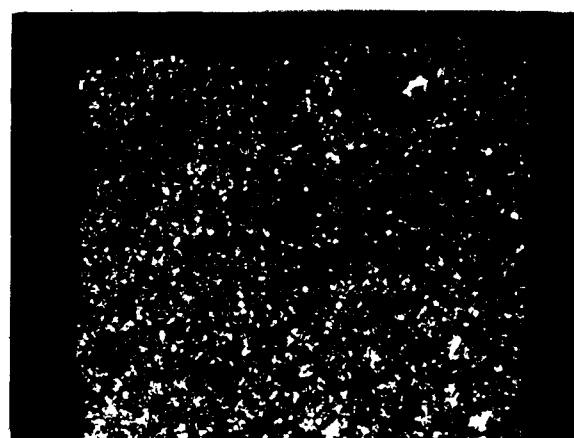
Zvětšeno 4,5x.



Obr.27. Lom antimonového kroužku odlitého odstředivě vibračním způsobem.

Hodnoty lití: 180 ot./min., 30 c/sec., licí teplota 650°C, studená kokila (20°C).

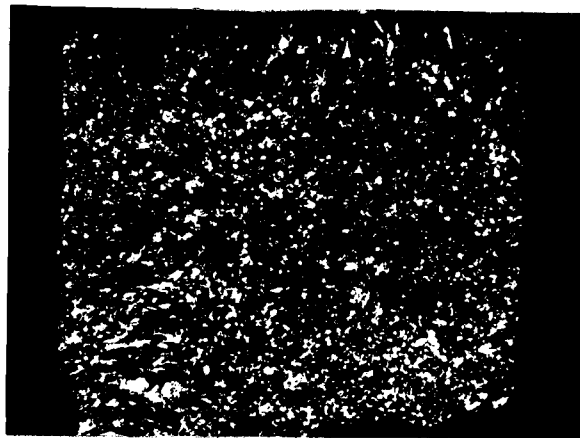
Zvětšeno 4,5x.



Obr.28. Lom antimonového kroužku odlitého odstředivě vibračním způsobem.

Hodnoty lití: 180 ot./min., 45 c/sec., licí teplota 700°C, teplota kokily 150°C.

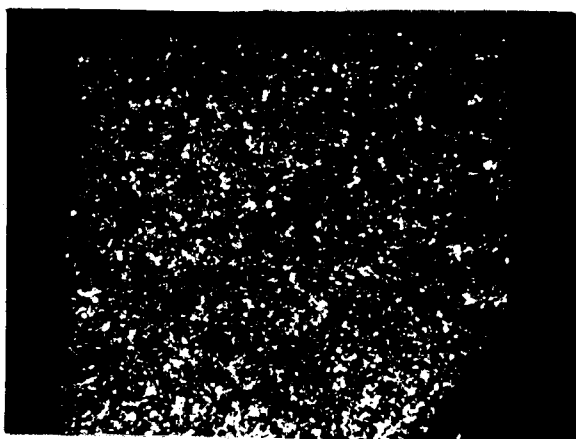
Zvětšeno 4,5x.



Obr.29. Lom antimonového kroužku odlitého odstředivě vibračním způsobem.

Hodnoty lití: 450 ot./min., 60 c/sec., licí teplota 700°C , teplota kokily s náťarem 300°C .

Zvětšeno 4,5x.



Obr.30. Lom antimonového kroužku odlitého odstředivě vibračním způsobem.

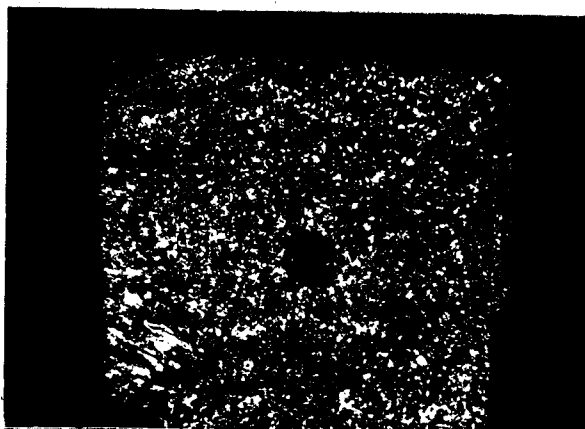
Hodnoty lití: 0 ot./min., 30 c/sec., licí teplota 850°C , studená kokila (20°C).

Zvětšeno 4,5x.



Obr.31. Obrobený povrch antimono-
vého kroužku odlitého odstředivě
vibračním způsobem.

Hodnoty lití: 180 ot/min, 30 c/sec,
licí teplota 650°C , studená kokila.
Zvětšeno 2,5x.



Obr.32. Póry v kroužku odlitém odstře-
divě vibračním způsobem.

Hodnoty lití: 0 ot/min, 30 c/sec,
licí teplota 800°C , studená kokila.
Zvětšeno 3x.



Obr.33. Lom antimonového kroužku
odlitého odstředivě vibračním
způsobem.

Hodnoty lití: 180 ot/min, 30 c/sec,
licí teplota 900°C , studená kokila.
Zvětšeno 4,5x.



Obr.34. Studené svary na povrchu
antimonového kroužku odlitého odstře-
divě vibračním způsobem.

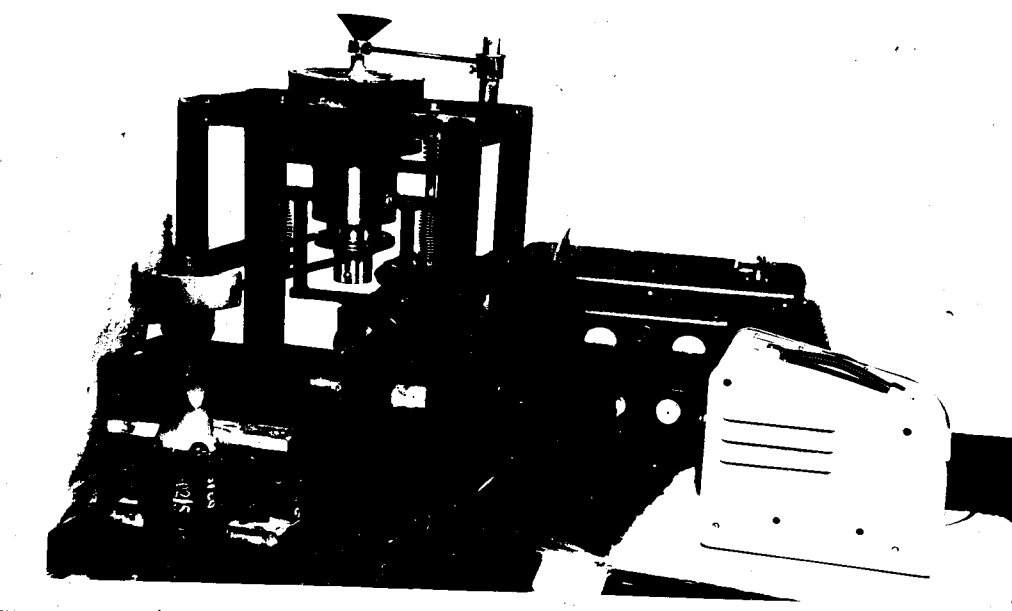
Hodnoty lití: 320 ot/min, 15 c/sec,
licí teplota 650°C , teplota kokily 80°C .
Zvětšeno 2,5x.



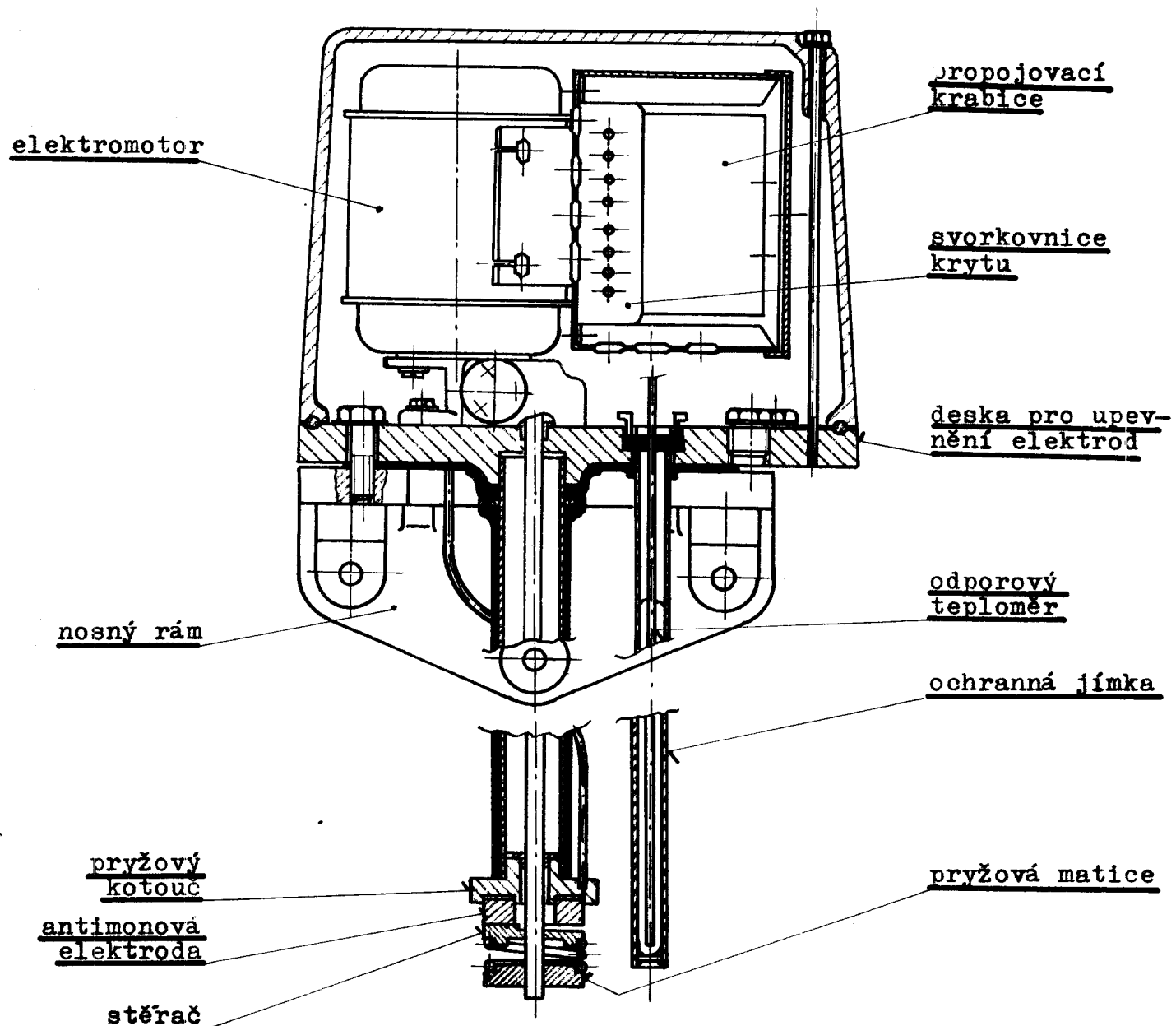
Obr.35. Povrch antimonového kroužku odlitého odstředivě vibračním způsobem do kokily s nátěrem.

Hodnoty lití: 450 ot/min, 30 c/sec, licí teplota 800°C , teplota kokily s nátěrem 150°C .

Zvětšeno 2,5x.



Obr.36. Zařízení pro odstředivě vibrační odlévání antimonových kroužků.



Schema ponorného vysílače pH se stíranou antimonovou elektrodou.

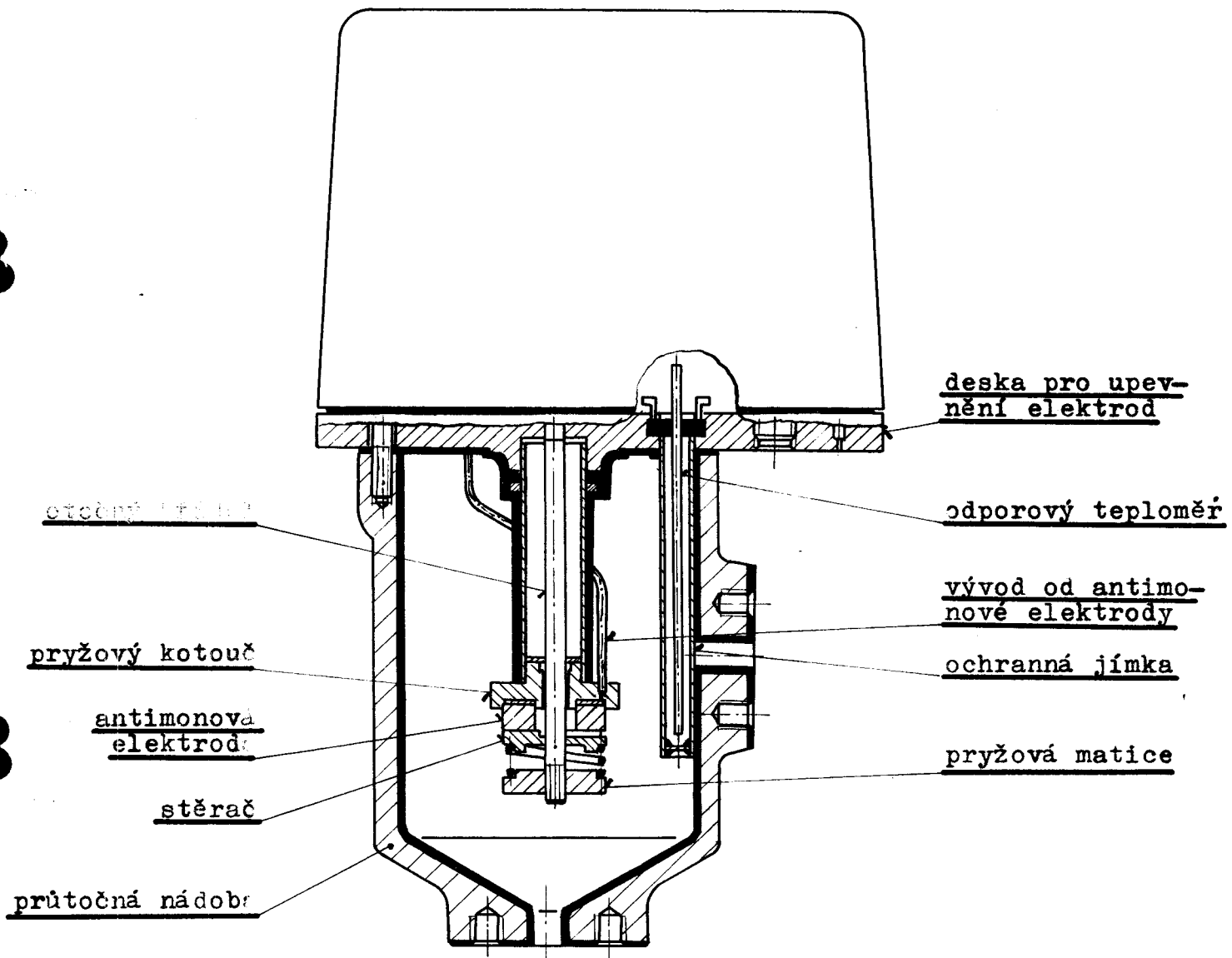
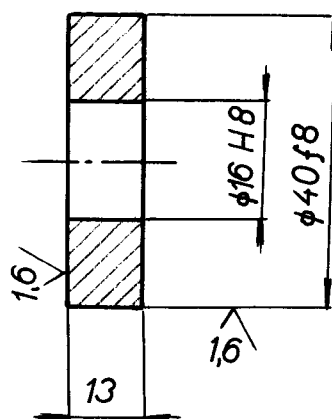


Schéma průtočného vysilače pH se stíranou
antimonovou elektrodou.

PŘÍDAVEK NA VŠECHNY
PLOCHY 1mm



Přesný rozměrový výkres antimonového kroužku.

2	pružina			DP-ST 76 -	17
2	pružina			DP-ST 76 -	21
2	pojistka 6000 čSN 014697			DP-ST 76 -	25
2	ležadlo 20000 čSN 014700			DP-ST 76 -	24
2	L 30.50.5 čSN 1014/VI-10070			DP-ST 76 -	33
2	30.50 čSN 1014/II-10000			DP-ST 76 -	21
1	řep	11500		DP-ST 76 -	21
1	řepa	-		DP-ST 76 -	20
1	řepa	-		DP-ST 76 -	29
1	pouzdrový kroužek	11500		DP-ST 76 -	28
1	trubka	11500		DP-ST 76 -	27
1	válce	11500		DP-ST 76 -	26
2	výstředník výšky	11500		DP-ST 76 -	22
2	výstředník výšky	11500		DP-ST 76 -	24
2	kryt	čSN 7164/I 1014/II		DP-ST 76 -	20
2	víko krytu	čSN 7164/I 1014/II		DP-ST 76 -	22
2	kalavika	čSN 7164/I 1014/II		DP-ST 76 -	21
2	šroub	11500		DP-ST 76 -	20
2	družstvá náhradky	11271		DP-ST 76 -	19
2	příslušná	25.10 čSN 1014/III		DP-ST 76 -	17
2	příslušná	25.10 čSN 1014/III		DP-ST 76 -	16
2	rozepínací kroužek	11500		DP-ST 76 -	15
1	řemenice	11500		DP-ST 76 -	14
1	kolík	11500		DP-ST 76 -	11
1	vibráční křídlo	11500		DP-ST 76 -	12
1	utěhovací pružina	11500		DP-ST 76 -	11
1	pojištěná vrtice	11500		DP-ST 76 -	10
1	vrtice	11500		DP-ST 76 -	9
1	pojištěná vrtice	11500		DP-ST 76 -	8
1	uvravovací kroužek	11500		DP-ST 76 -	7
1	pouzdro	11.00		DP-ST 76 -	6
1	kleština	11500		DP-ST 76 -	2
1	vyhrobování	11500		DP-ST 76 -	4
1	víko kolíku	420000		DP-ST 76 -	2
1	kokila	420000		DP-ST 76 -	2
1	řán	válcová ocel		DP-ST 76 -	1

M. Pacák

DP-ST-76-00

2	pružina			DP-ST 76 -	37
2	pružina			DP-ST 76--	36
.2	ložisko 6300 ČSN 024637			DP-ST 76 -	35
2	ložisko 30209 ČSN 024720			DP-ST 76 -	34
I	L 50.65.5 ČSN 1214/VI-10373			DP-ST 76 -	33
I	60.30 ČSN 1214/II-10003			DP-ST 76 -	32
1	čep	11500		DP-ST 76 -	31
1	spojka	-		DP-ST 76 -	30
1	spojka	-		DP-ST 76 -	29
1	rozpěrný kroužek	11600		DP-ST 76 -	28
1	trubka	11600		DP-ST 76 -	27
1	vidlice	11500		DP-ST 76 -	26
1	výstředníkový čep	11500		DP-ST 76 -	25
1	výstředníkový čep	11500		DP-ST 76 -	24
1	kryt	ČSN 1164/I StII 23		DP-ST 76 -	23
1	víko krytu	ČSN 1164/I StII 23		DP-ST 76 -	22
1	nálevka	ČSN 1164/I StII 23		DP-ST 76 -	21
1	čep	11500		DP-ST 76 -	20
1	držák nálevky	11370		DP-ST 76 -	19
2	příchytka	35.15 ČSN 1014/III		DP-ST 76 -	17
2	příchytka	35.10 ČSN 1014/III		DP-ST 76 -	16
1	rozpěrný kroužek	11600		DP-ST 76 -	15
1	řemenice	11600		DP-ST 76 -	14
4	kolík	11600		DP-ST 76 -	11
1	vibrační těleso	11600		DP-ST 76 -	12
1	utahovací matice	11600		DP-ST 76 -	11
1	pojistná matice	11600		DP-ST 76 -	10
1	matice	11600		DP-ST 76 -	9
1	pojistná matice	11600		DP-ST 76 -	8
1	uzavírací šroub	11600		DP-ST 76 -	7
1	pouzdro	11600		DP-ST 76 -	6
1	kleština	12060		DP-ST 76 -	5
1	vyhazovač	11600		DP-ST 76 -	4
1	víko kokily	423005		DP-ST 76 -	3
1	kokila	423005		DP-ST 76 -	2
1	rám	válená ocel		DP-ST 76 -	1

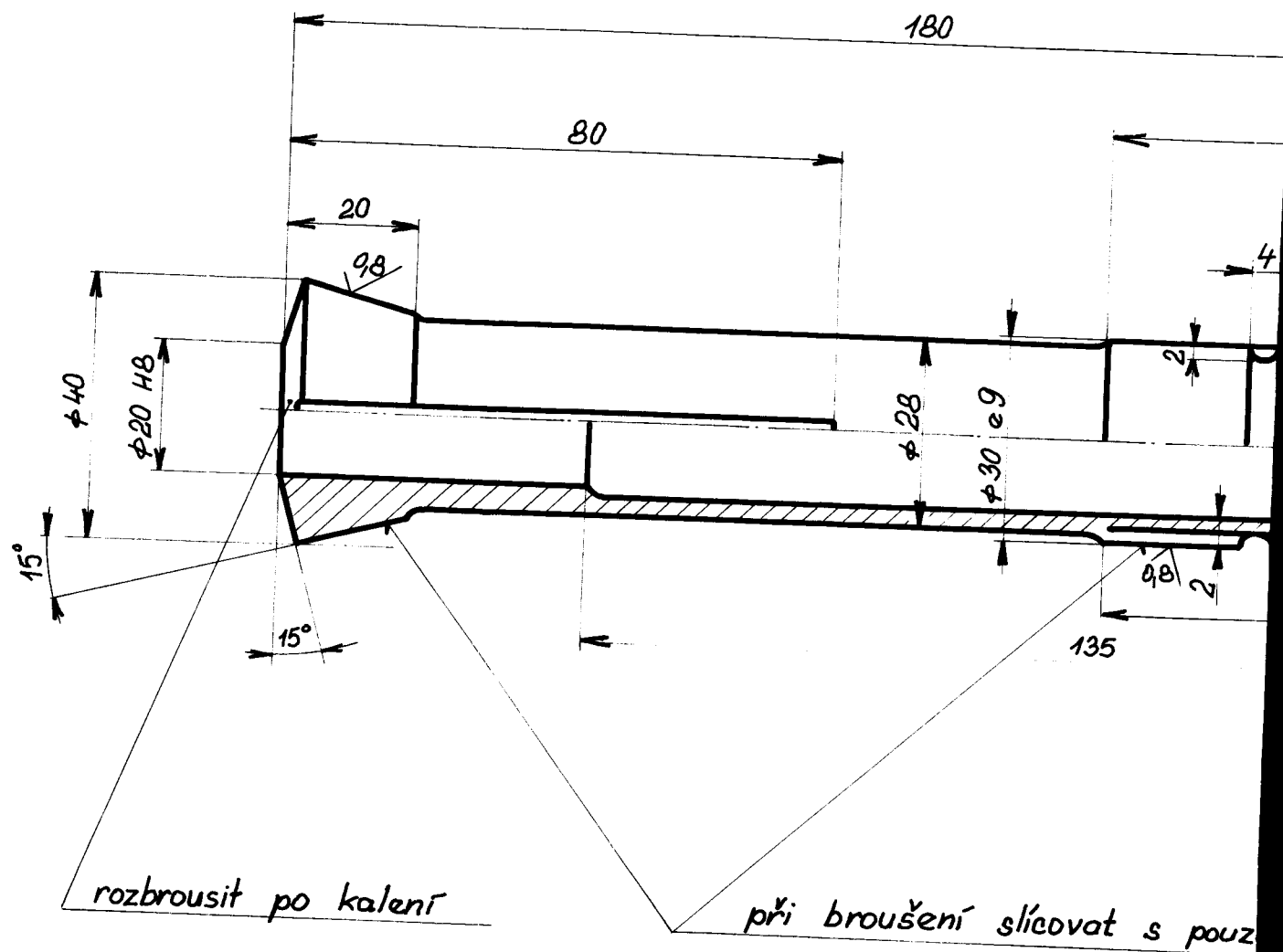
Věřítko	Xveslí - zezkoušení - výrobce - Výroba pro export	M. Pacák	Čís. smlv.	Celková c. váha kg			
				0	5	10	15
				0	5	10	15
				0	5	10	15
				0	5	10	15
				0	5	10	15

V	S	S	T	Název	Skupina	Stav výkres	Nový výkres
V	S	S	T	LIBEREC		DP-ST-76-00	
Počet listů							Ust

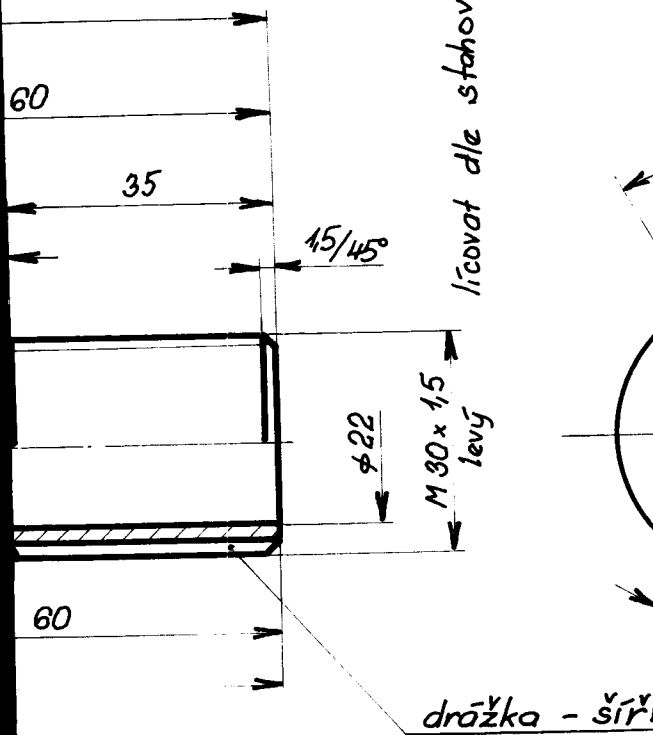
1	šroubový řemen M			DP-ST 76 -	53
2	závlažka 4.15 ČSN 1008/I ocel. 11341			DP-ST 76 -	58
4	závlažka 4.20 ČSN 1008/I ocel. 11341			DP-ST 76 -	51
1	závlažka 4.25 ČSN 1008/I ocel. 11341			DP-ST 76 -	50
2	podložka 10,5 ČSN 1301/II ocel.			DP-ST 76 -	49
4	podložka 10,5 ČSN 1301/II ocel.			DP-ST 76 -	48
4	podložka 18 ČSN 1301/II ocel.			DP-ST 76 -	47
1	podložka 21 ČSN 1301/II ocel.			DP-ST 76 -	46
1	šroub M4.10 ČSN 021103			DP-ST 76 -	45
2	matice M10 ČSN 021401			DP-ST 76 -	44
1	matice M10 ČSN 021403			DP-ST 76 -	43
1	matice M10 ČSN 021401			DP-ST 76 -	42
2	šroub M10.25 ČSN 021103			DP-ST 76 -	41
4	šroub M4.10 ČSN 021103			DP-ST 76 -	40
4	páro 4.4.8	11500 ČSN	1094/IX	DP-ST 76 -	39
1	páro 5.5.10	11500 ČSN	1094/IX	DP-ST 76 -	38
2	základ tvř		11600	DP-ST 76 -	38

Počet kusu	Název - Rozměr	Polotovar	Mat. konečný	Mat. výchozí	Tit. oř.	Č. váha	Hr.váha	Číslo výkresu	Pos.
Poznámka									
Měřítko	Kreslil Drezkoušel Norm. ref Vyr. projevnost	<i>M. Pacák</i>	Cis. sňím.	d e f g	e f g h	po d s t	po d s t	po d s t	x x x x

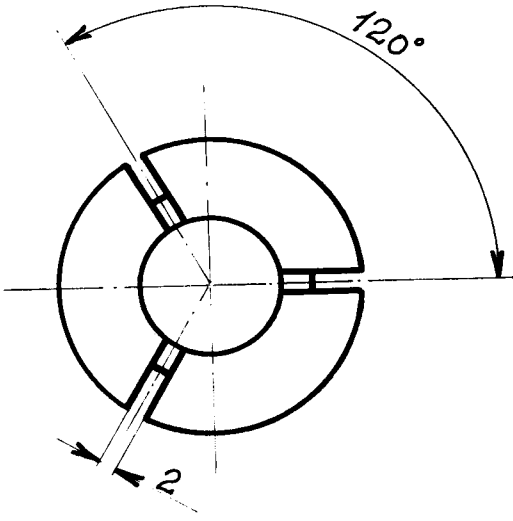
Ty:	Skupina	Výkres	Nový výkres
VŠST LIBEREC	Název	DP-ST-76-00	Ust



6,3 / (0,8)



/řcovat dle stahov. matice č.v. DP-ST-76-11



držka - šírka 3 mm

drem č.v. DP - ST - 76 - 6

1

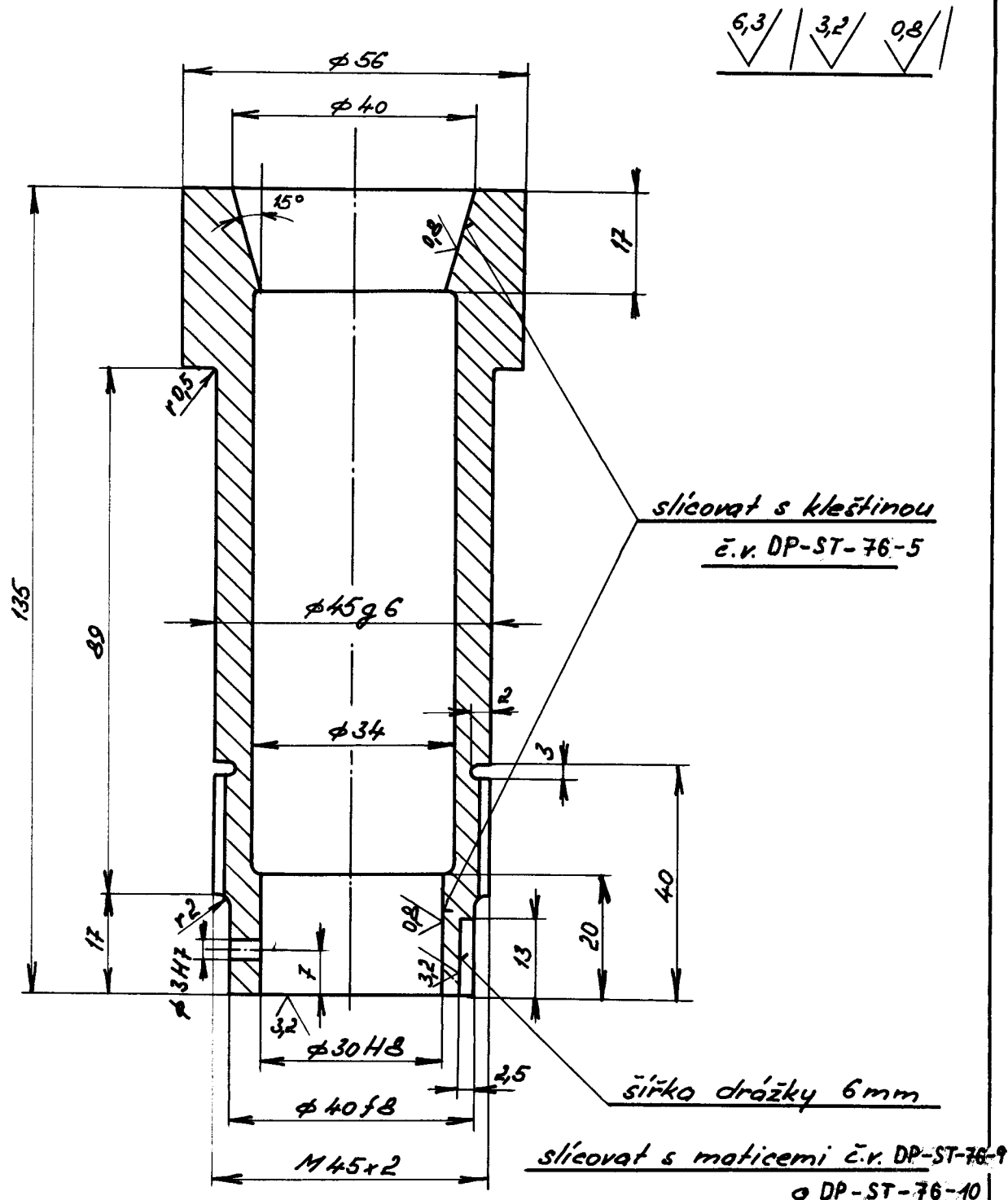
12060

M. Pacek

1:1

KLEŠTINA

DP-ST-76-5



1

11600

M. Pačák

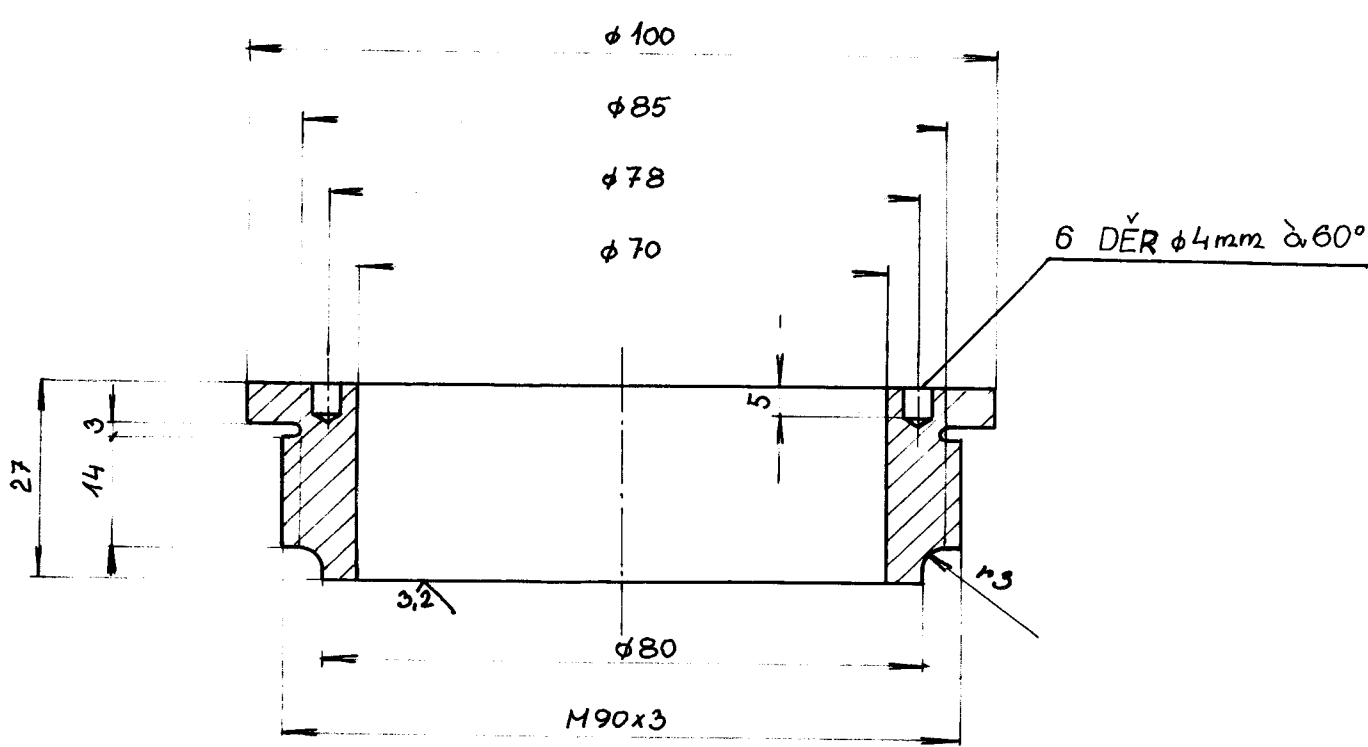
1:1

POUZDRO

DP-ST-76-6

Počet listů

List



SLÍCOVAT S Č.V. DP-ST-76-12

1

11800

M. Pacák

1:1

DP-ST
REC

UZAVÍRACÍ
ŠROUB

DP-ST-76-7

Počer. listů

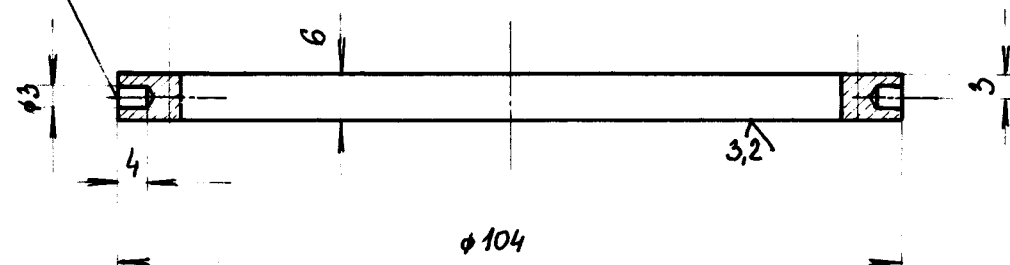
List

6,3 ✓ (3,2) ✓

6,3 ✓(3,2 ✓)

4 DÍRY ϕ 4 mm Δ 90°

M 90x3 SLÍCOVAT S Č.V. DP-ST-76-7



1600

M. Pacák

1:1

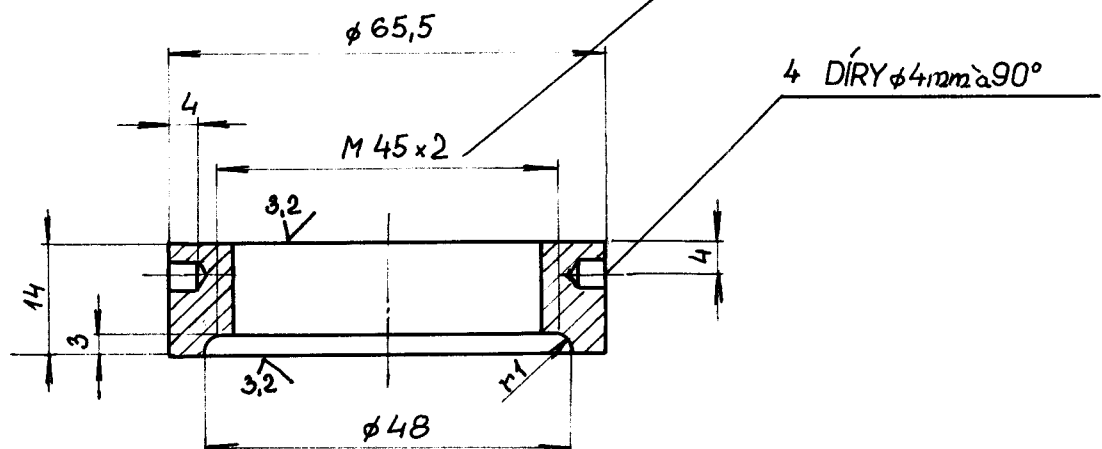
POJISTNÁ
MATICE

DP-ST-76-8

Dokl. usná

(3,2)

SLÍCOVAT S Č.V. DP-ST-76-6



1

11600

Míra výkresu: 1:100 1:200 1:500 Číslo výkresu:

Váha kusů: 1,255 kg

1:1

M. Pacák

VŠS T
LISEREG

Název

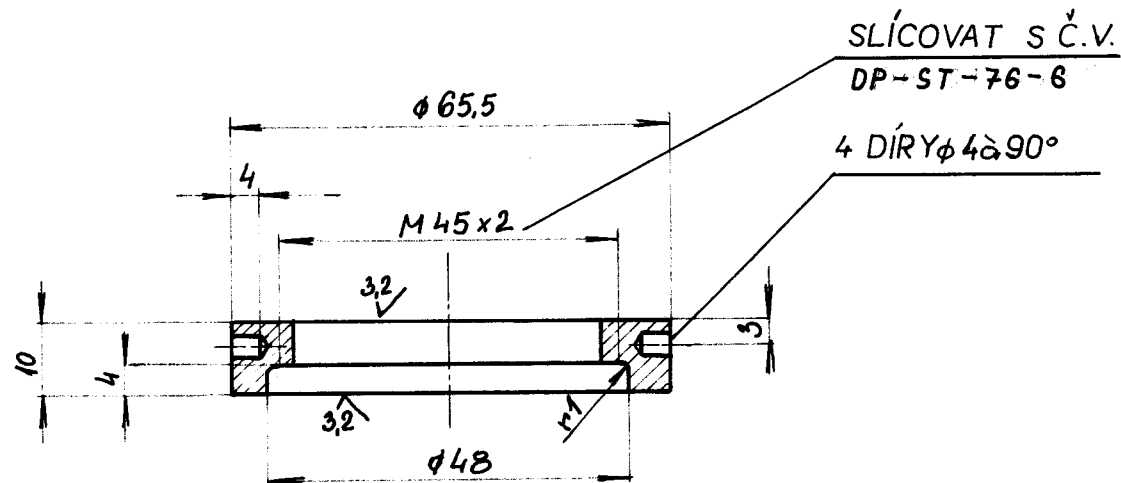
MATICE

DP-ST-76-9

Počet listů

1

6,3 ✓ (3,2 ✓)



1

11600

M. Pacák

1:1

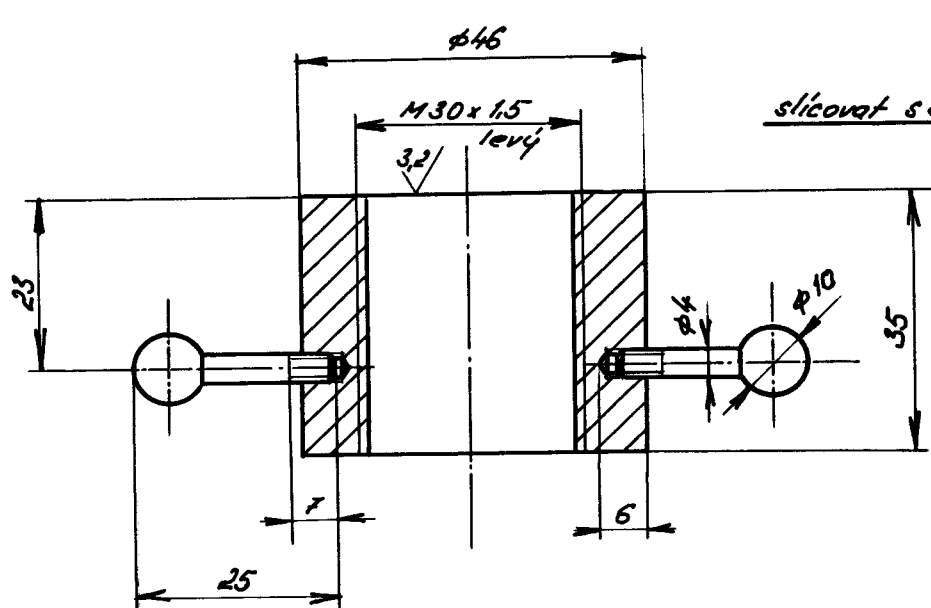
V. S. T.
VIDEREC

Název
**POJISTNÁ
MATICE**

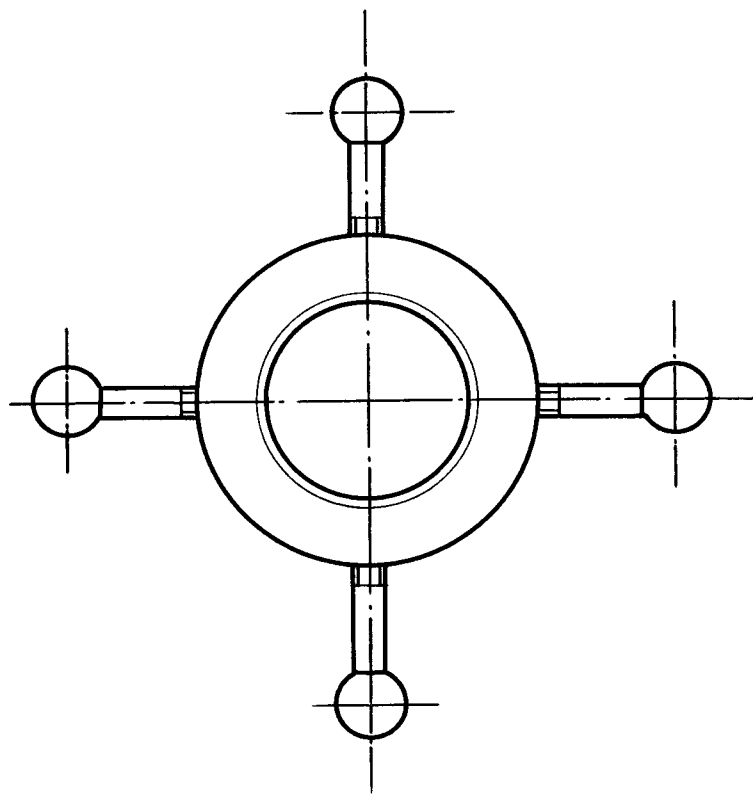
DP-ST-76-10

Počet listů

1

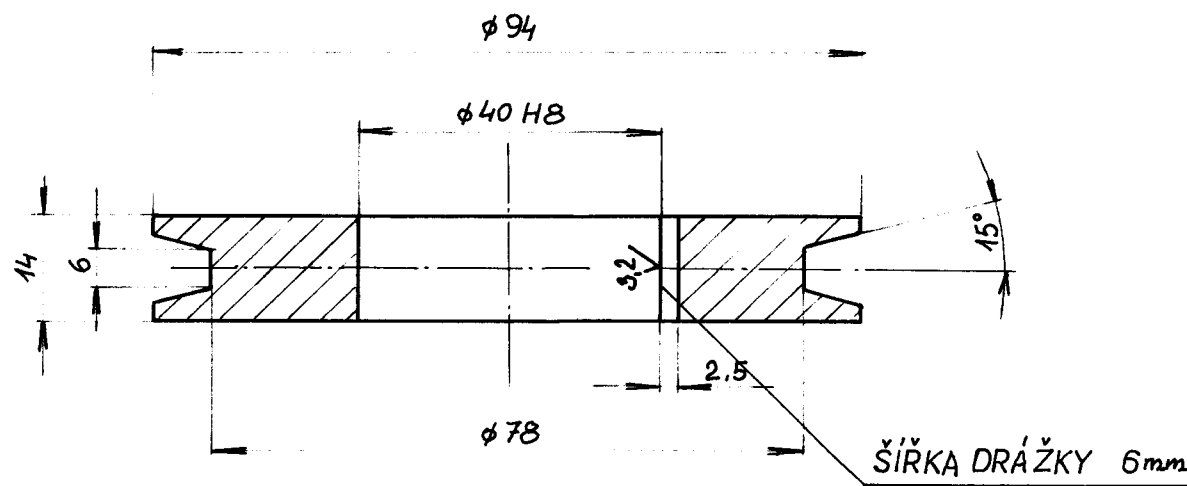


slicovat s c.v. DP-ST-76-5
s kleštinou



1	11600	Mín. výška základny	100	č. ván.	Hr. vánky	Číslo výkresu	Prac.
M. Pacák		Příslušný výkres					
1:1	1	2	3	4	5	6	7
UTAHOVACÍ MATICE	DP-ST-76-11	Počet listů	1	Přísl. výkres	1	Přísl. výkres	1

6,3 ✓ (3,2 ✓)



11 600

M. Pacák

1:1

DP-ST
REFO

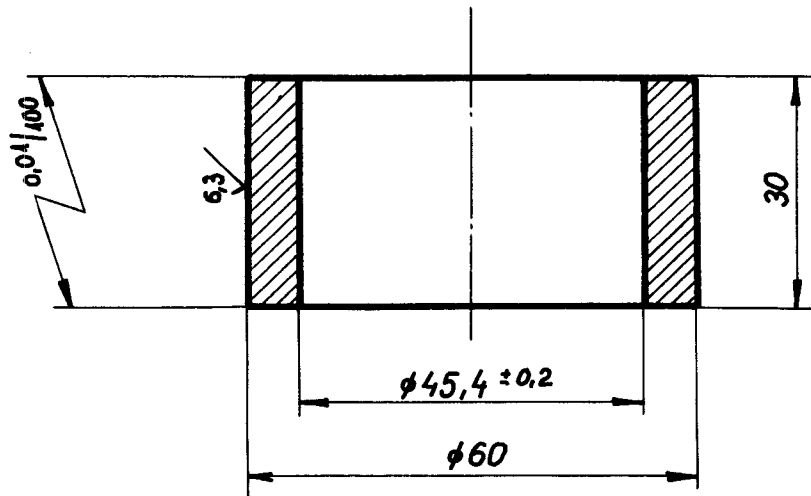
ŘEMENICE

DP-ST-76-14

Počet listů

List

3,2 ✓ (6,3 ✓)



1

11600

číslo	verze	stav	řez	řez	číslo výkresu
11600					

M. Pacák

1:1

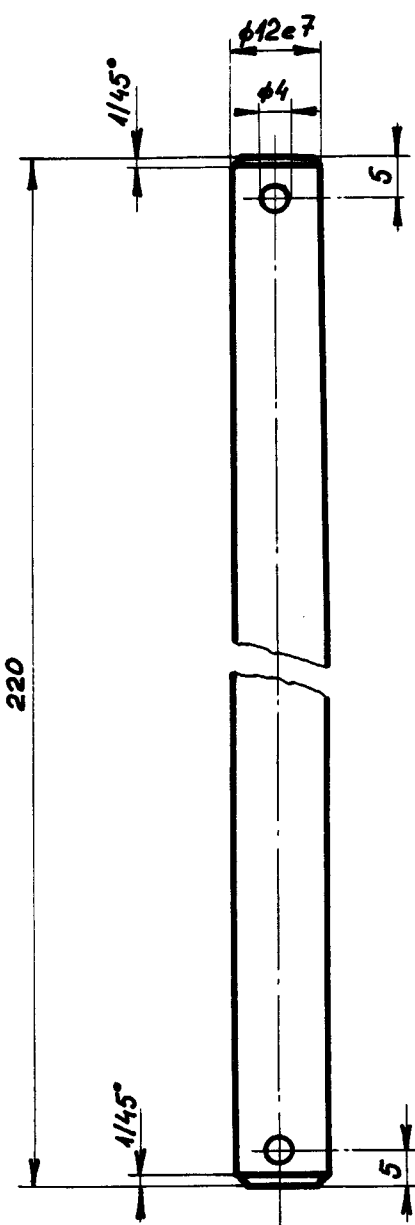
103
30
REC

**ROZPĚRNÝ
KROUŽEK**

DP-ST-76-15

Počet listů

Ústř.



8,3 ✓

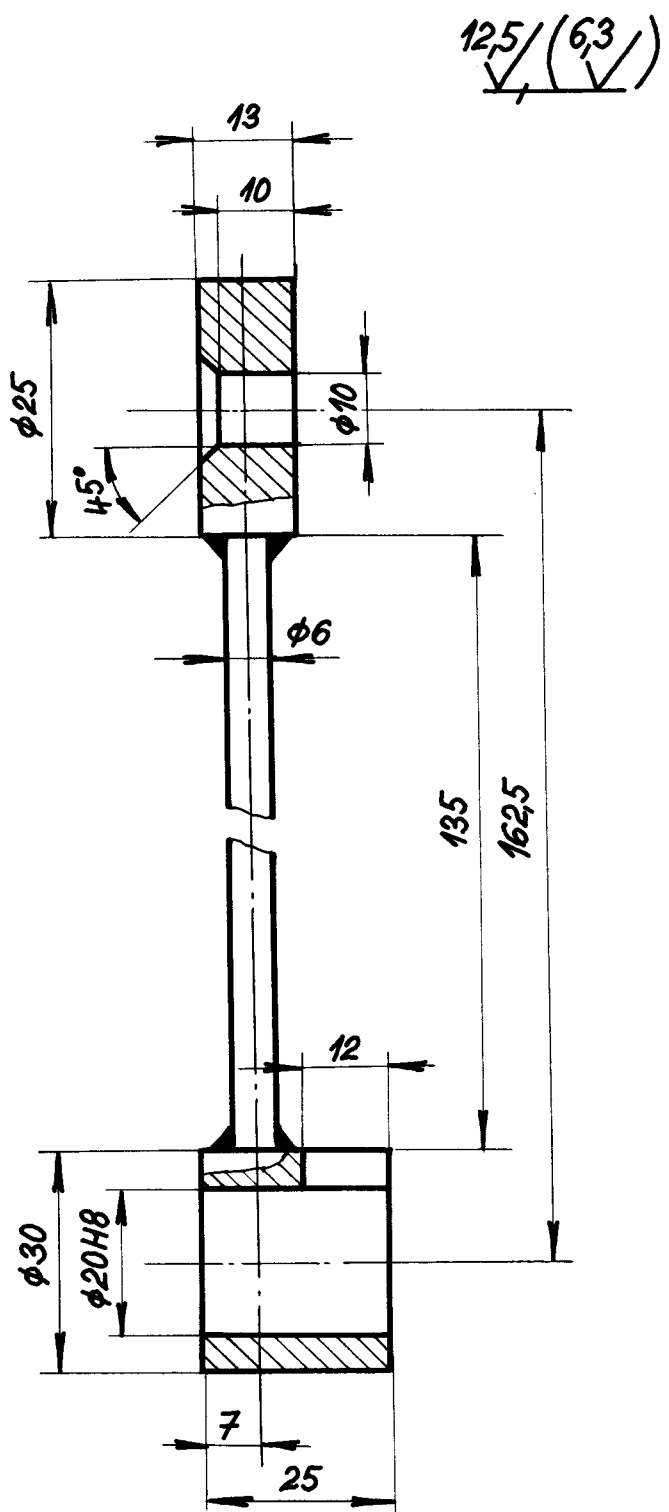
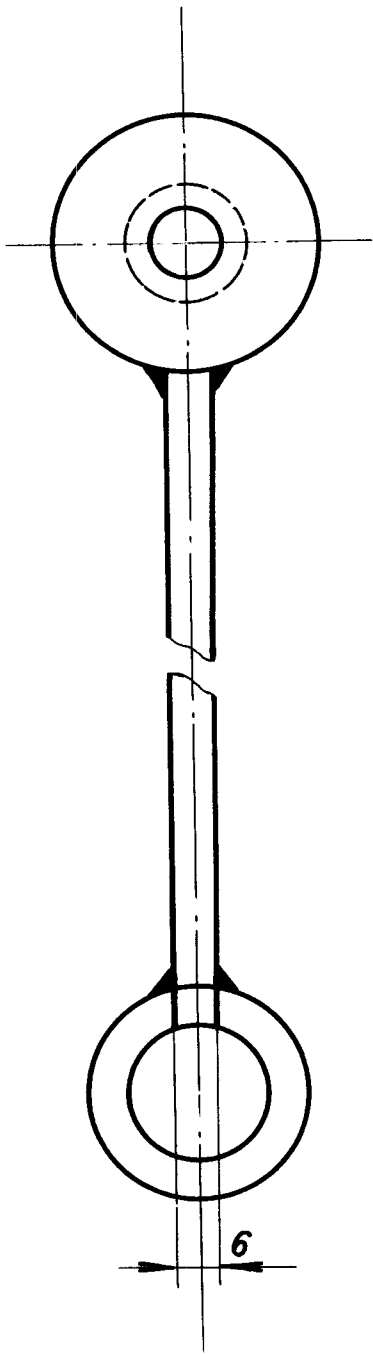
1		11600									
---	--	-------	--	--	--	--	--	--	--	--	--

M. Pacák

1:1

VODICI TYČ

DP-ST-76-18



1

11370

M. Pacák

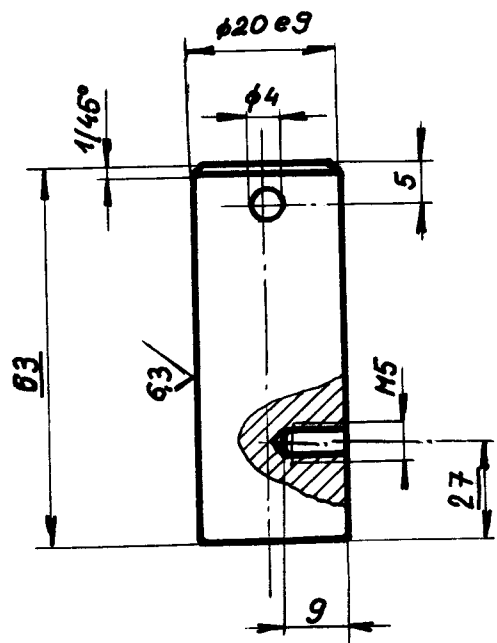
1:1

**DRŽÁK
NÁLEVKY**

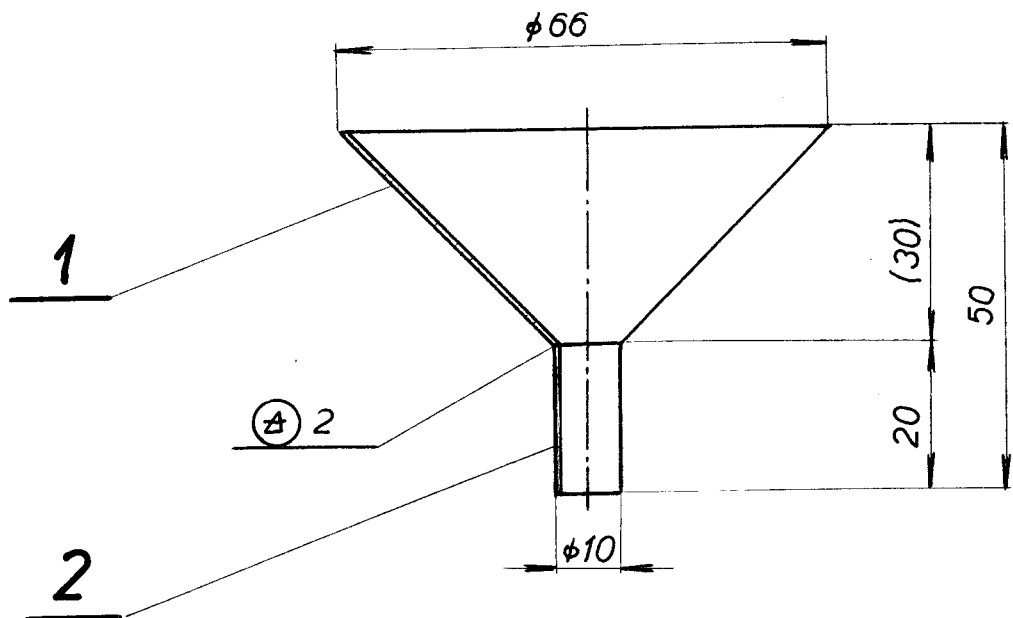
DP-ST-76-19

Práce na lítině	Práce na kovu	Práce na hliníku	Práce na skle	Práce na dřevě	Práce na plastu	Práce na kůži									
✓	✓	✓	✓	✓	✓	✓	✓	✓	✓	✓	✓	✓	✓	✓	✓
Materiál výkresu															
Materiál kresby															
Materiál kresby															

42,5 / (6,3 /)



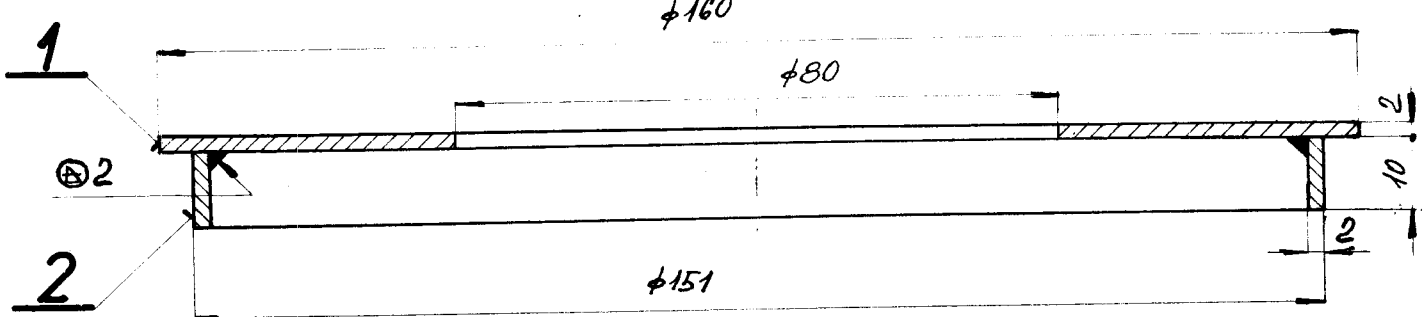
1	Výrobek	11500	Číslo výkresu	Pos
M. Pacák				
1:1	Výkres			
Y 3031				
REC				
ČEP				
DP-ST-76-20	Počet listů			



1	TRUBKA 10x1x20 ČSN 425715	10343							2
1	PLECH 10x1x8 ČSN 425301	10343							1
Počet kusů	Název - rozměr	Polotovar	Mater. konečný	Mater. výchozí	Třída odpadu	Č. váha	Hr. váha	Číslo výkresu	Pos.
Poznámka									Celková čistá váha kg
Měřítko 1:1	Kreslil		Č. snímku	Změna	Datum	Podpis	Index změny		x
	Přezko ušel								x
	Norm. ref.								x
	Výr. projedn.	Schválil	Č. transp.						x
		Dne							x
Typ Název			Skupina	Starý výkres	Nový výkres				
VSST LIBEREC			NÁLEVKA	DP-ST-76-21					
				Počet listů	List				

X

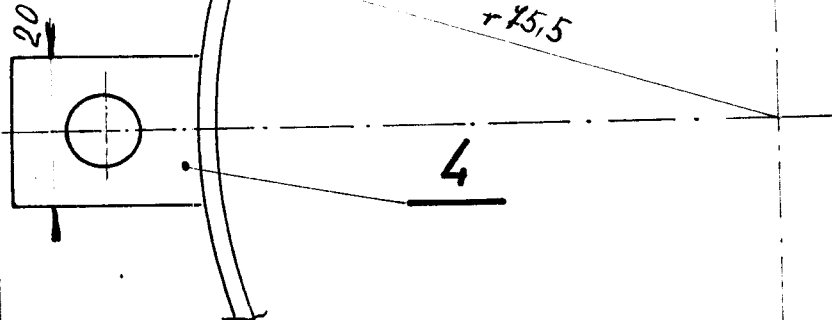
160



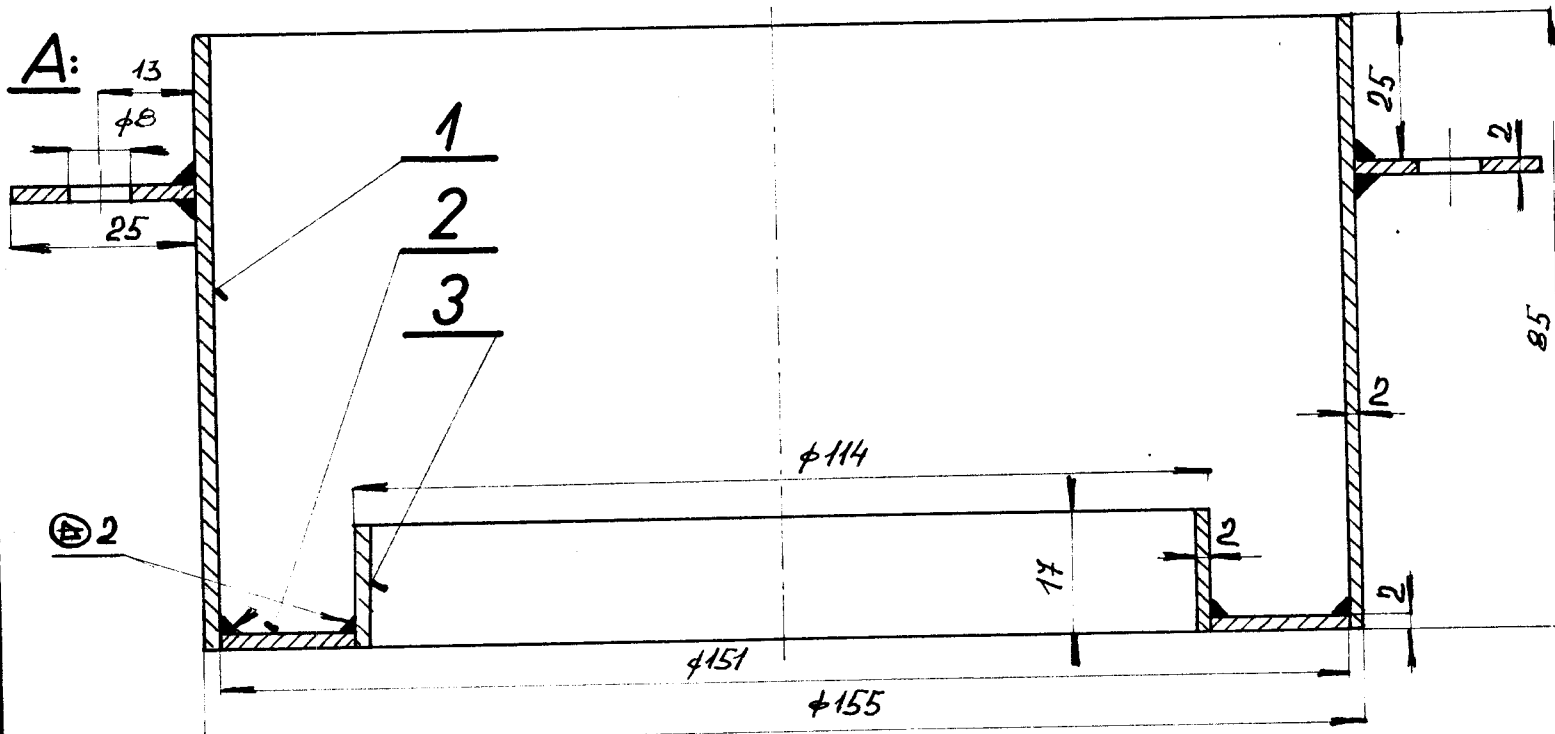
NEOBROBEKO.

1	475 x 10 x 2	480 x 12 x 2	10 343		1				2
1	160 x 2	165 x 165 x 2	10 343		1				1
Počet kusů	Název - rozměr	Polotovar	Mater. konečný	Mater. výchozí	Třída odpadu	Č. váha	Hr. váha	Číslo výkresu	Pos.
Poznámka									
Měřítko	Kreslil	<i>M. Pacák</i>		Č. snímku	Změna			Datum	Podpis
1:1	Přezko ušel								
Norm. ref.									
Výr. projedn.	Schválil			Č. transp.					
	Dne								
VSST		Typ	Skupina	Starý výkres	Nový výkres				
LIBEREC VÍKO KRYTU		Název		Počet listů	DP-ST-76-22	List			

DET. A



2



NEZNAC. SVARY + 2.

2	20x26x2	25x30x2	10 343		1				4
1	352x17x2	355x20x2	10 343		1				3
1	φ151x2	φ155x155x2	10 343		1				2
1	490x85x2	495x90x2	10 343		1				1

Počet kusů Název - rozměr Polotovar Mater. konečný Mater. výchozí Třída odpadu Č. váha Hr. váha Číslo výkresu Pos.

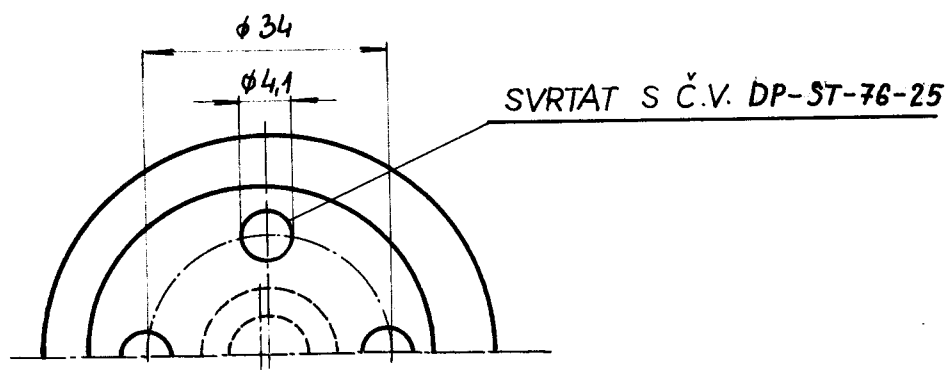
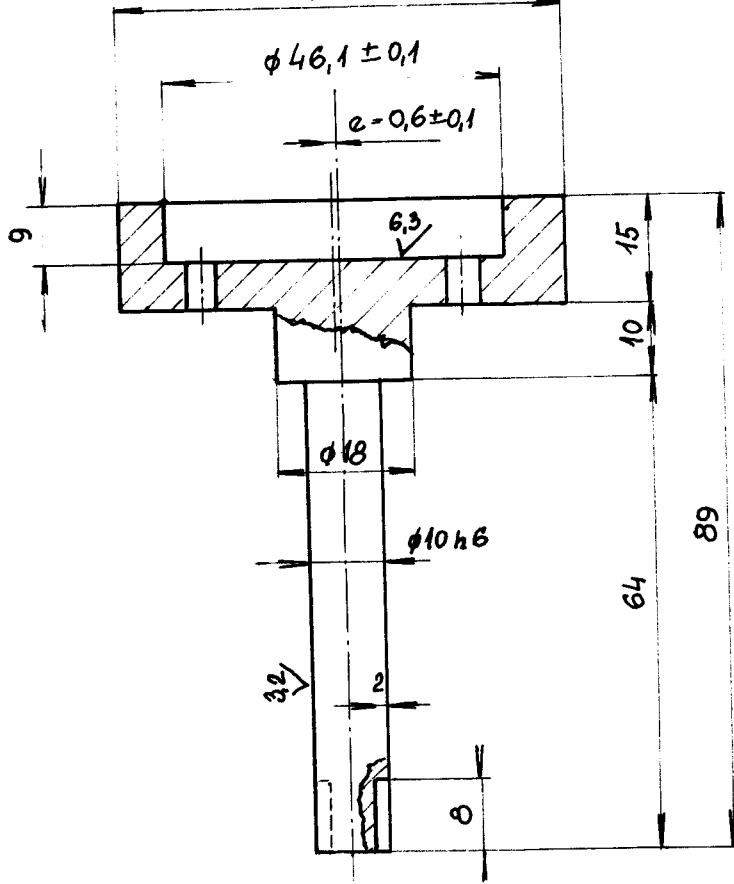
Celková čistá váha kg

Měřítka	Kreslil M. Pacák	Č. snímku	Změna	Datum	Podpis	Index změny
Přezkoušel						x
Norm. ref.						x
Výr. projedn.	Schválil	Č. transp.				x
	Dne					x

VŠST LIBEREC	Typ Název	Skupina	Starý výkres	Nový výkres
		KRYT	DP-ST-76-23	

Počet listů

List



1

11500

M. Pacák

1:1

LIBEREC

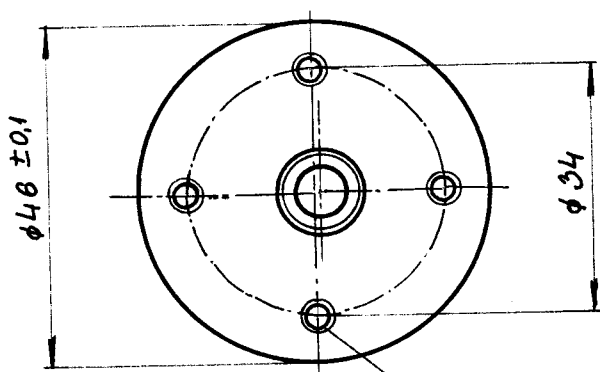
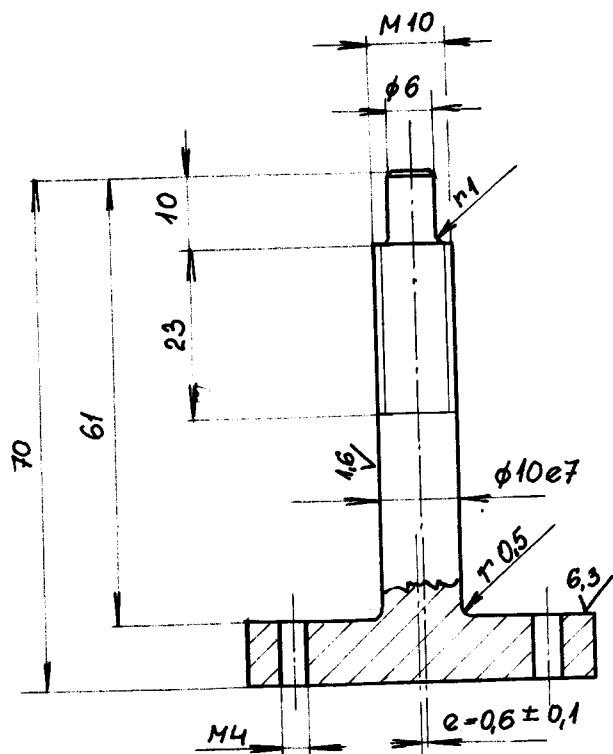
VÝSTRŽ. ČEP

DP-ST-76-24

Počet listů

Ust

12,5/ (1,6/ 6,3/)



SVRTAT S Č.V. DP-ST-76-24

1

11500

Cisic výkresu

M. Pačák

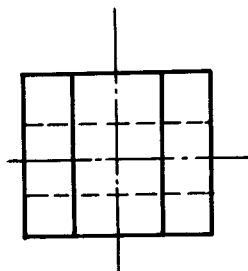
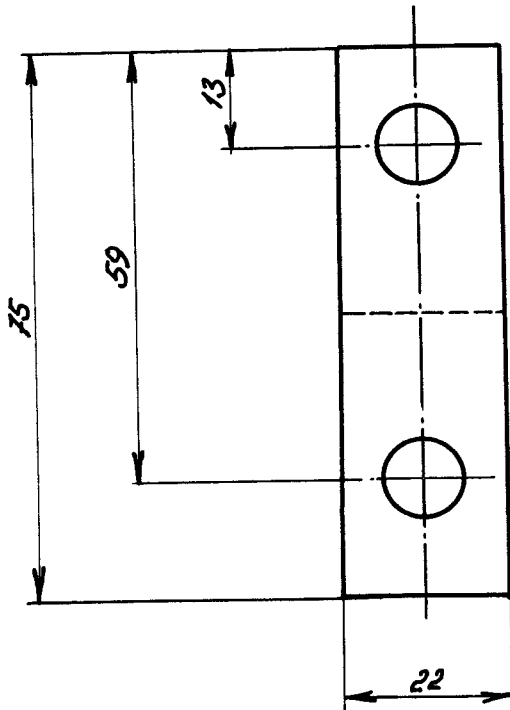
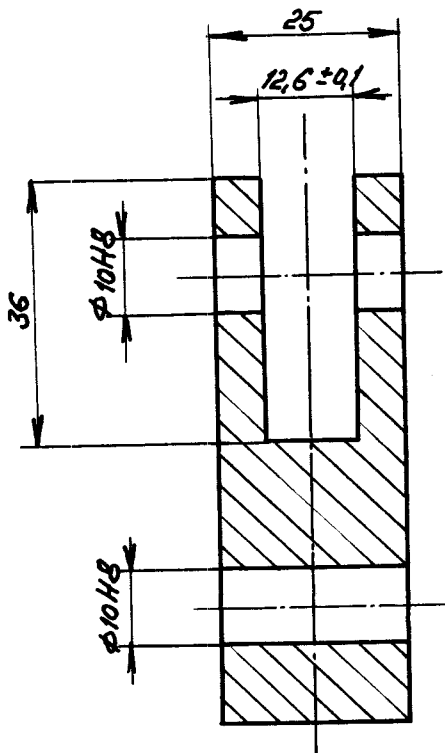
1:1

VÝSTŘ. ČEP

DP-ST-76-25

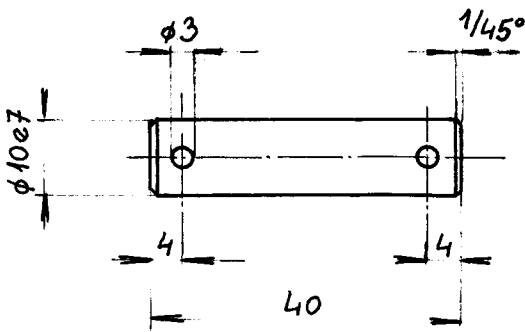
Počet listů

Ust



1	11500	M. Paráček	Úřední číslo	Návrh	Techn. výkres	Č. výkresu	Číslo výkresu	
M. Paráček				Odkaz do katalogu				
1:1								
VIDLICE		Sídlo		Družina		Nový výkres		
Firma		Adresa		Družina		Nový výkres		
Vidlice		Vidlice		Vidlice		Vidlice		
Počet listů		Počet listů		Počet listů		Počet listů		
DP-ST-76-26		DP-ST-76-26		DP-ST-76-26		DP-ST-76-26		
List		List		List		List		

3,2



1

11600

1:1

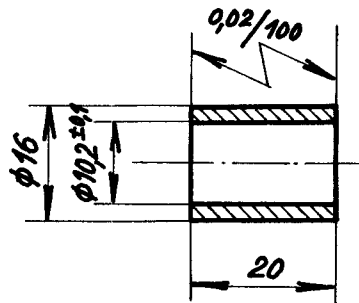
ČEP

DP-ST-76-31

Počet listů

LIST

6,3 ✓



1

1:1

M. Pacák

11600

Číslo výkresu	Dopis
Index změny	X
podpis	X
Datum	

ŠT
REVEC

ROZPĚRNÝ
KROUŽEK

DP-ST-76-28

Počet listů

List